



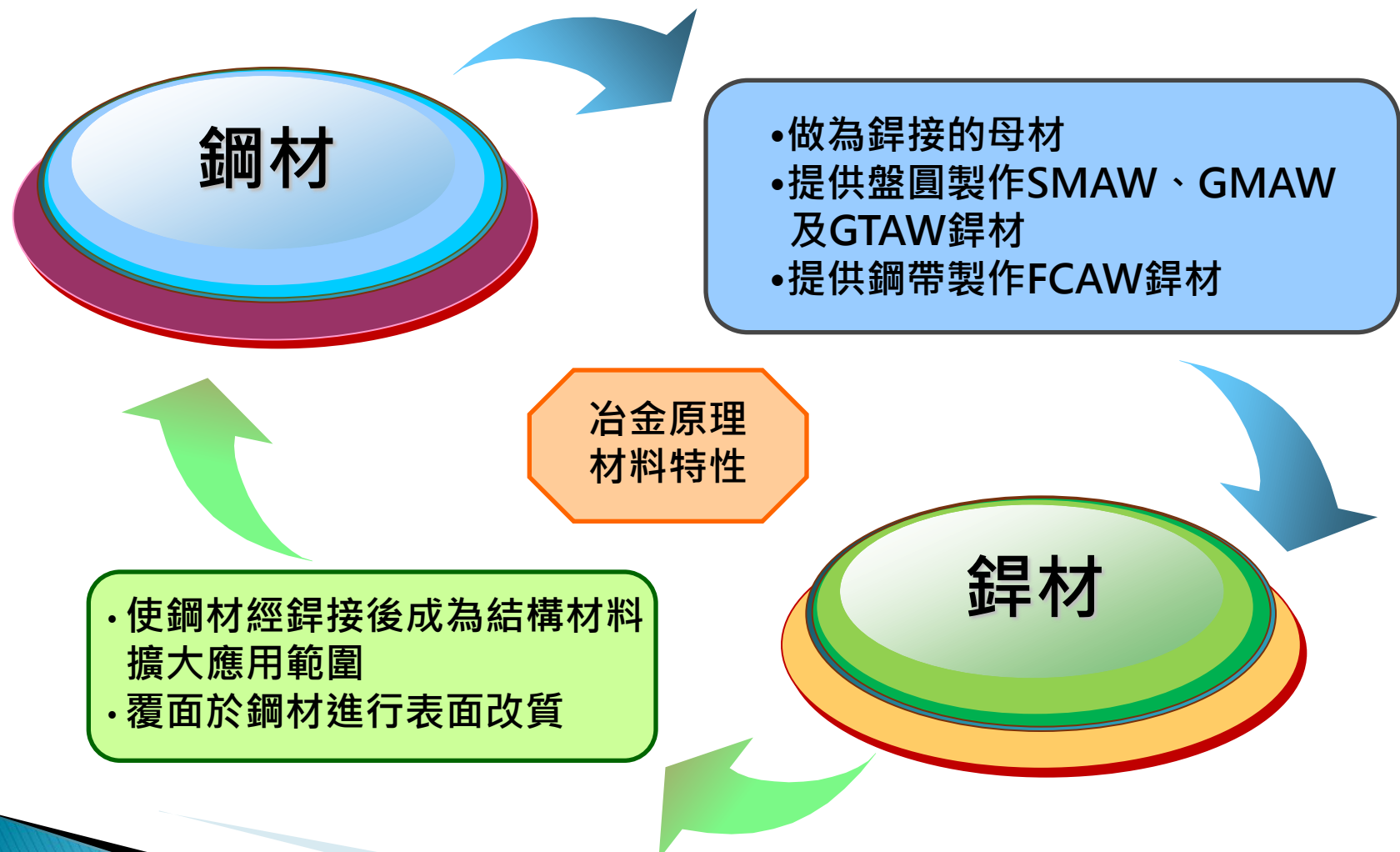
新一代船舶用鋸接技術 與鋸接材料



張家銘博士
廣泰金屬公司研發課長



鋼材與鍔接材料的關係





鍔接材料的分類



SMAW



**GMAW/
FCAW**



SAW



船舶種類

HIGHER STRENGTH

CORROSION RESISTANT
DUPLEX



CHEMICAL TANKERS

USED WELDING PROCESSES

SMAW • GMAW • FCAW • SAW

HIGH STRENGTH



SUBMARINE VESSELS

USED WELDING PROCESSES

SMAW • GMAW • FCAW • SAW

CRYOGENIC STEELS

-163°C methane



LIQUID GAS CARRIERS

USED WELDING PROCESSES

SMAW • GTAW • GMAW • FCAW • SAW

Good impact toughness

LIGHT WEIGHT

corrosion resistant



ALUMINIUM BOATS

USED WELDING PROCESSES

GTAW • GMAW

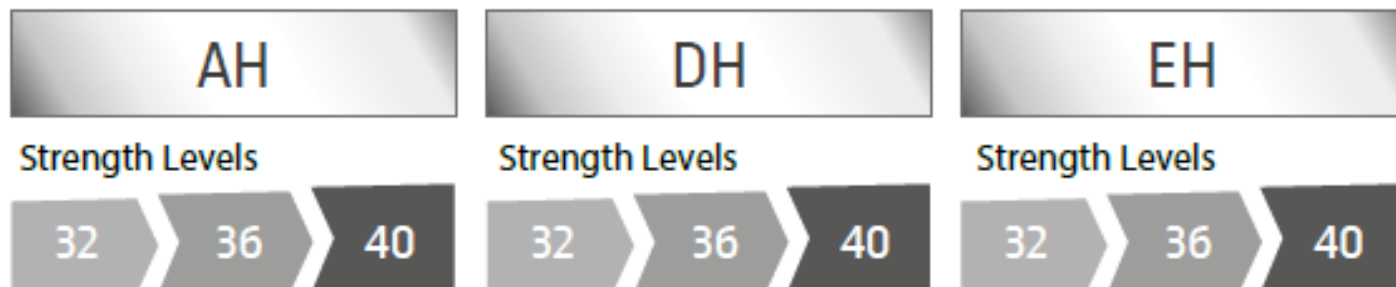


船舶用鋼

Mild steels grades



High Strength Steel Grade



Grades of Steels

MILD STEEL CE
 $C [\%] + [Mn [\%]] / 6$

HIGH STRENGTH STEEL CE
 $C + [Mn / 6] + [Cr + Mo + V] / 5 + [Ni + Cu] / 15$

船艦種類

- ▶ 水面艦
- ▶ 航空母艦
- ▶ 潛艦



亞雷迪絲版權所有請勿盜用



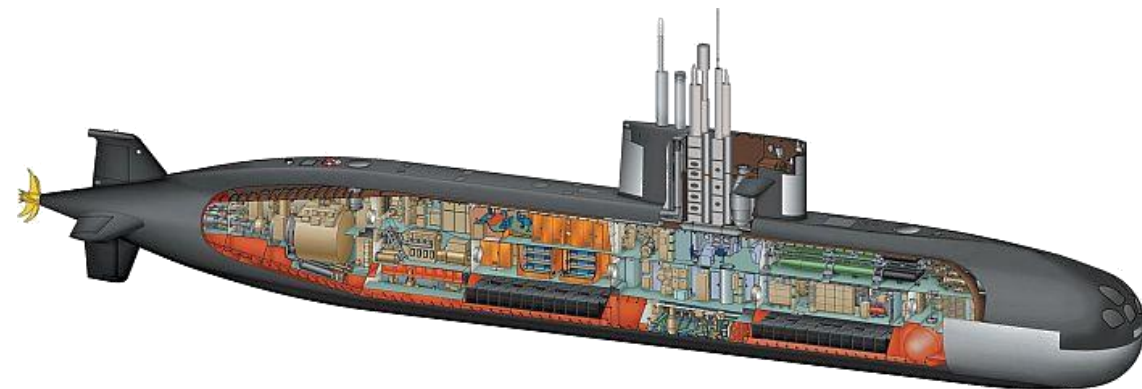
潛艦用低合金高強度高韌性鋼

▶ 美國

- HY-80 & HSLA-80
- HY-100 & HSLA-100
- HY-130

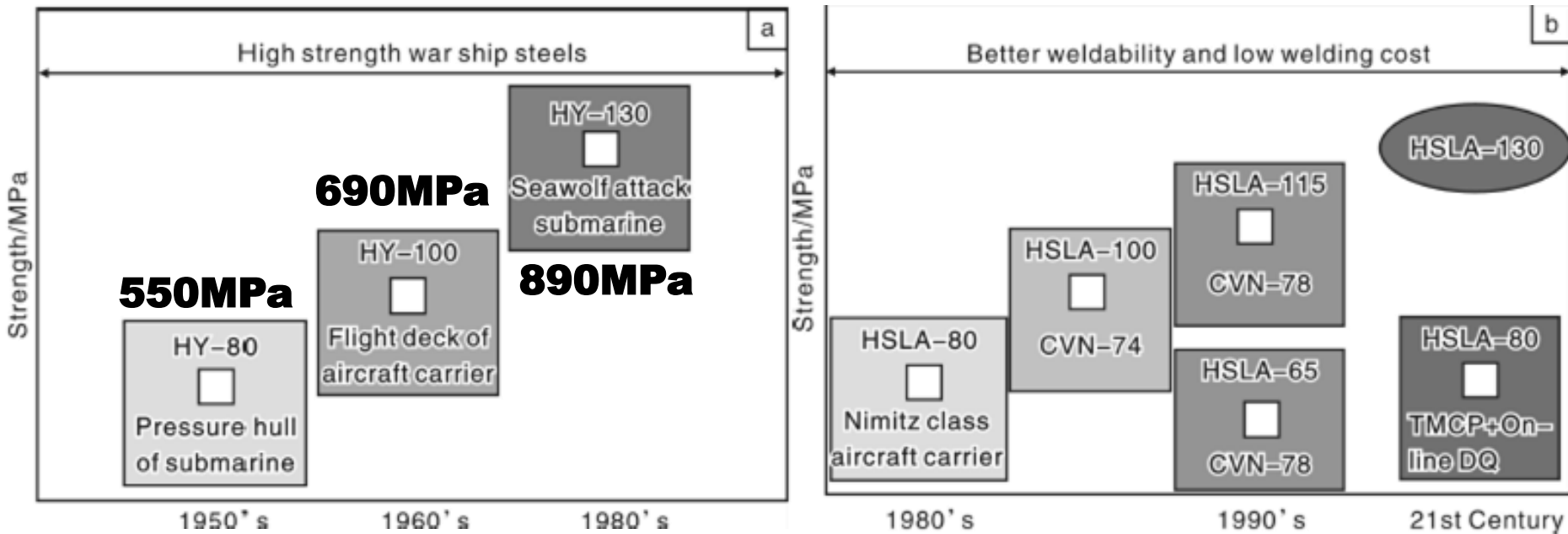
▶ 日本

- NS 46
- NS 63
- NS 80
- NS 90
- NS 110



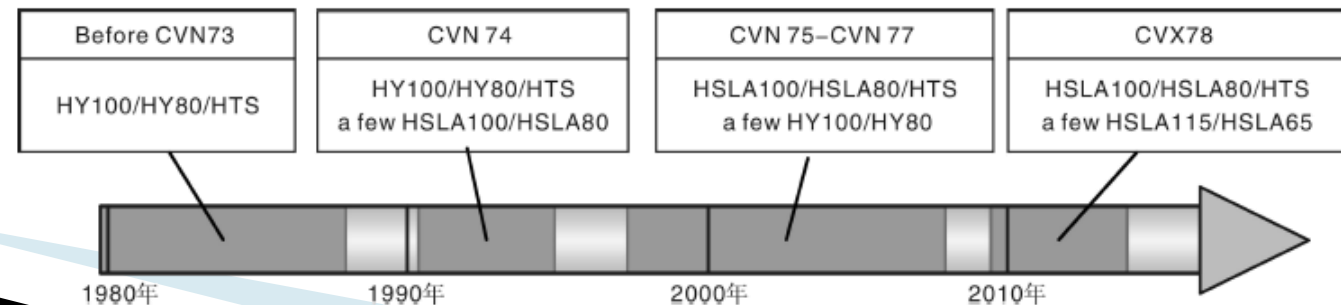


美國船艦用鋼發展



鎳鉻鉬系的淬火回火

銅析出硬化+DQ



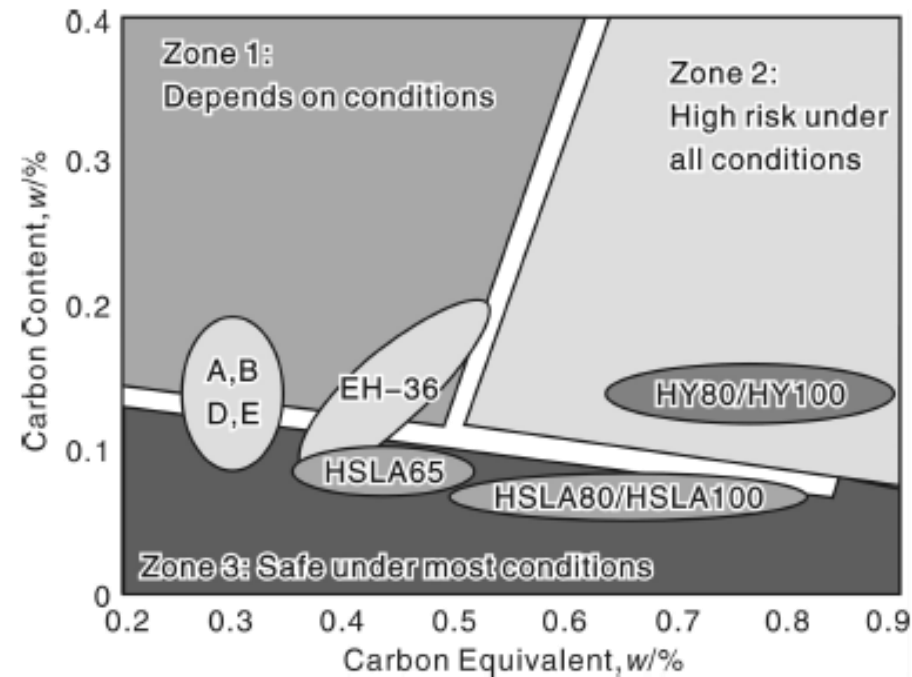
HY-80 VS HLSA-80

▶ Cost

- Alloy (Ni 、 Cr 、 Mo) ↓
- Save 2000~3000 USD/ ton

▶ Weldability

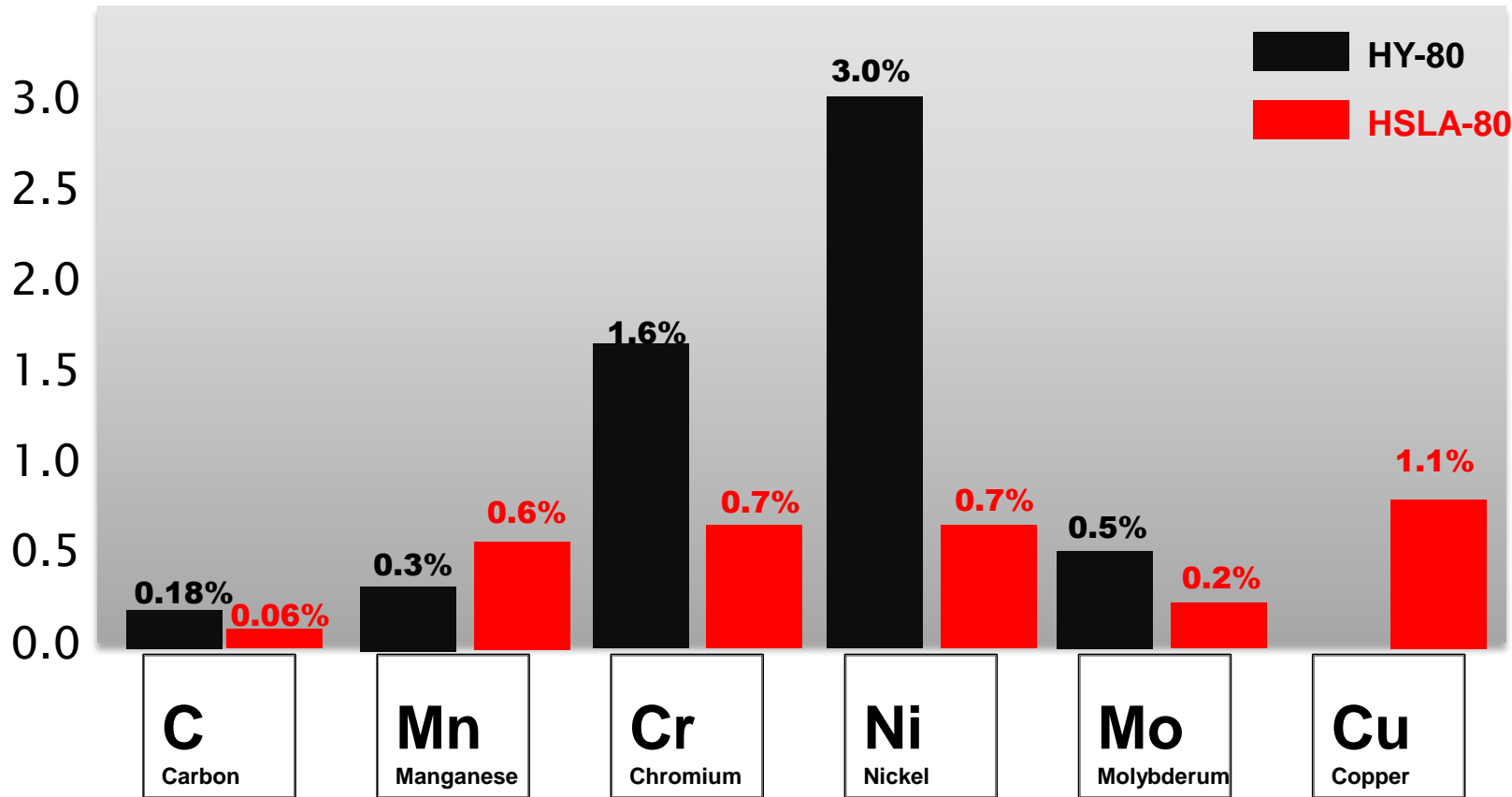
- $C_E \downarrow$
- Preheat temperature ↓
- Interpass temperature ↓



HIGH STRENGTH STEEL CE

$C + [Mn / 6] + [Cr + Mo + V] / 5 + [Ni + Cu] / 15$

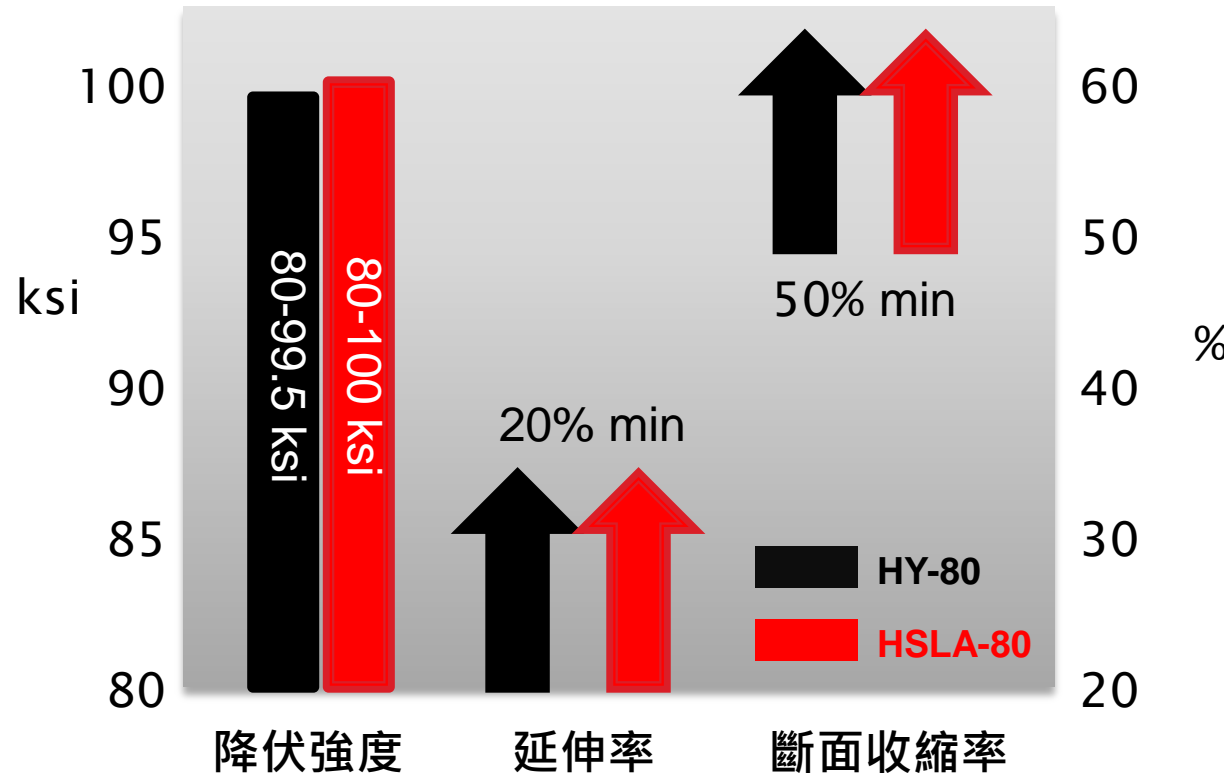
HY&HLSA-成份比較



SUBMARINE VESSELS



HY&HLSA-物性比較



低溫衝擊值	-18°C	-84°C
HY-80	65J	47J
HSLA-80	-	65J



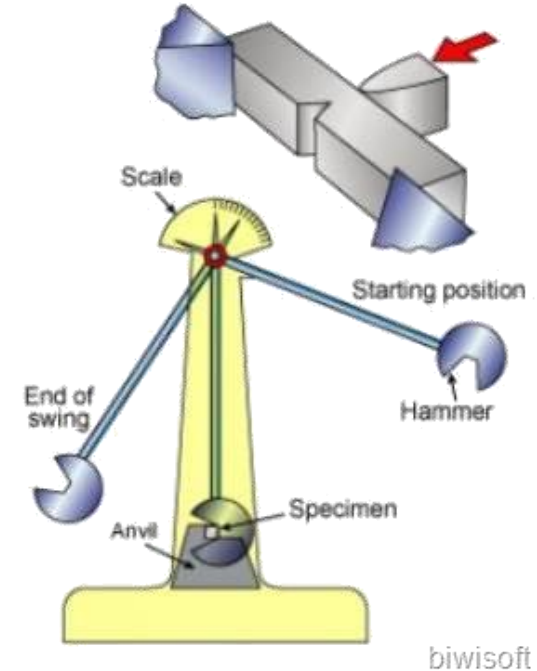
船艦用鋼要求

▶ 高強度

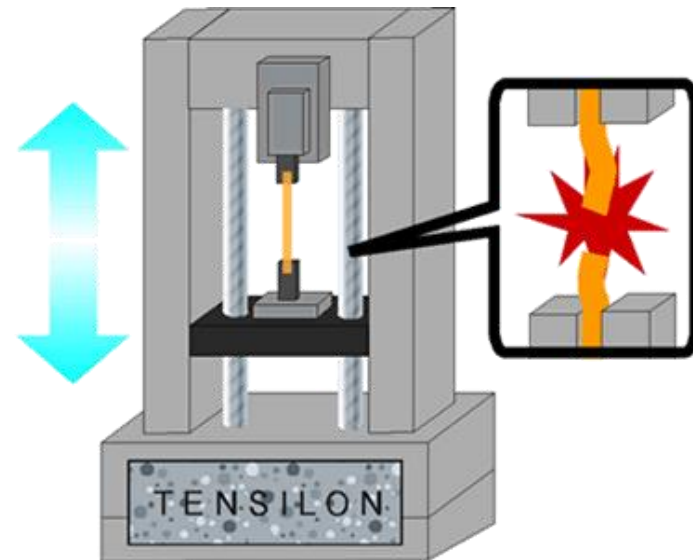
- 降伏強度: 550~1100MPa

▶ 高韌性

- 低溫韌性: 47J min
- 韌脆轉換溫度



biwisoft





船艦用鋼要求

► 爆炸試驗





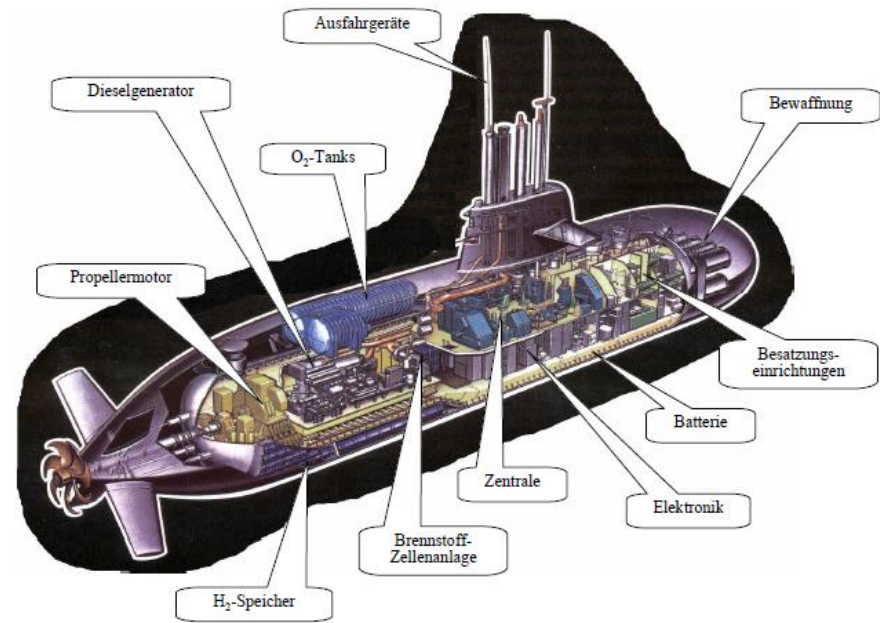
潛艦用鋸材

Welding Consumable specification:

T9074-BC-GIB-010/0200

FILLER MATERIALS FOR CRITICAL APPLICATIONS:

REQUIREMENTS FOR FLUX-CORED WELDING ELECTRODES, BARE WELDING ELECTRODES AND FLUXES, AND COVERED WELDING ELECTRODES FOR LOW-ALLOY STEEL APPLICATIONS



測試項目

Table III. Summary of weld metal tests required for qualification. 1/

Test	Schedule		Test procedures	Requirements
	A	B <i>2/</i> , <i>6/</i>		
Chemical analysis	X	--	AWS A5.29 and Main Body 4.8	Table I herein
Alloy identity	X	--	AWS A5.01	Main Body 3.8
Diffusible hydrogen <i>5/</i>	X	--	AWS A4.3	A.3.1.3 and A.3.1.4 herein
Welded test assembly	X	X	AWS A5.29 and A.4.4.1 herein	AWS A5.29
Nondestructive testing	X	X	Main Body 4.5.1 and 4.5.2	Main Body 3.7.1 and 3.7.2
Visual and Dimensional Examination	X	X	Main Body 4.4.2	A.3.1.5
Tension	X	X	AWS B4.0	Table II herein
Transverse side bend	X	X	AWS B4.0	Table II herein
Charpy V-notch <i>3/</i>	X	X	AWS B4.0	Table II herein
Dynamic tear <i>3/</i>	X	X	AWS B4.0	Table II herein
Explosion test series <i>4/</i>	--	X	A.4.4.2 herein	Table II herein



SMAW-APPENDIX C

► *SMAW-Chemical Composition*

Element	MIL-10018-M1	MIL-10718-M	MIL-12018-M2
Carbon	0.06	0.07	0.07
Manganese	0.80 - 1.85	0.80 - 1.85	0.80 - 1.85
Silicon	0.65	0.60	0.65
Phosphorus	0.025	0.025	0.025
Sulfur	0.017	0.017	0.012
Chromium	0.40 <u>4/</u>	0.40 <u>4/</u>	0.65
Nickel	1.25 - 3.00	1.25 - 2.50	1.50 - 4.00
Molybdenum	0.50	0.25 - 0.50	0.90
Vanadium	0.05	0.05	0.05
Copper	<u>2/</u>	<u>2/</u> , <u>3/</u>	<u>2/</u> , <u>3/</u>
Boron	---	<u>3/</u>	<u>3/</u>



FCAW-APPEDIX A

► *FCAW-Chemical Composition & Mechanical Properties*

MIL-type <u>1/</u>	Chemical composition (wt. percent) <u>2/</u> <u>3/</u>									
	Carbon	Manganese	Silicon	Phosphorus	Sulfur	Nickel	Chromium	Molybdenum	Vanadium	Copper
MIL-101TC	0.07	0.50 to 1.50	0.60	0.015	0.015	1.30 to 3.75	0.20	0.50	0.05	0.06
MIL-101TM										

MIL-type	<u>101TC</u> <u>101TM</u>
Yield strength (1000 pounds per square inch) (ksi) <u>2/</u>	82 to 110
Elongation in 2 inches min. (percent)	18
Transverse side bend	<u>3/</u>
Charpy V-notch. Energy ft-lb minimum average @ Temperature (degrees Fahrenheit) (F) <u>4/</u>	35@(-60F) 60@(0F)
Dynamic tear. Energy ft-lb minimum average @ Temperature (degrees Fahrenheit) (F)	300@(-20F) <u>5/</u> 450 @(+30F) <u>6/</u>
Explosion crack starter test	<u>7/</u>



GMAW&SAW-APPEDIX B

► *GMAW & SAW-Chemical Composition*

Welding process	ALL	GMAW SAW	ALL	GMAW SAW
Type 2/	100S-1 100S-2	100S-1C 100S-2C	120S-1 120S-2	120S-1C 120S-2C
Chemical composition (weight percent) 1/				
Carbon	0.07 3/	0.07 3/	0.070 3/, 4/	0.070 3/, 4/
Manganese	1.25-1.8	1.25-2.5	0.90-2.35	1.4-3.8
Silicon	0.20-0.55	0.20-0.55	0.60	0.20-0.55
Phosphorus	0.012	0.012	0.012	0.012
Sulfur	0.008	0.010	0.008	0.010
Nickel	1.40-2.10	1.40-2.10	1.00-3.0	1.00-3.5
Molybdenum	0.25-0.55	0.25-0.55	0.30-1.00	0.30-1.10
Chromium	0.30 8/	0.30 8/	0.80	0.60
Vanadium	0.05	0.04	0.03	0.04
Aluminum	0.10	0.05	0.10	0.05
Titanium	0.10	0.10	0.10	0.10
Zirconium	0.10	0.10	0.10	0.10
Copper	5/, 6/, 7/	5/, 6/, 7/	5/, 6/, 7/	5/, 6/, 7/
Boron	7/	7/	7/	7/



GMAW&SAW-APPENDIX B

► *GMAW & SAW-Mechanic Properties*

Type 2/	100S-1 100S-1F 100S-2 100S-2F	120S-1 120S-1F 120S-2 120S-2F
Yield Strength (1000 pounds per square inch) (ksi)	82 to 120 <u>3/</u> , <u>12/</u>	102 to 123 <u>3/</u> , <u>4/</u> , <u>12/</u>
Elongation in 2 inches min. (percent)	16	15
Transverse side bend	<u>5/</u>	<u>5/</u>
Charpy V-notch. Energy ft-lb min. average @ Temperature (degrees Fahrenheit) (F)	35@(-60F) <u>6/</u> 60@(0F) <u>6/</u>	45@(-60F) <u>6/</u> , <u>7/</u> 60@(0F) <u>6/</u>
Dynamic tear. Energy ft-lb minimum average @ Temperature (degrees Fahrenheit) (F)	300@(-20F) <u>8/</u> , <u>9/</u> 450@(+30F) <u>9/</u> , <u>10/</u>	400@(-20F) <u>8/</u> , <u>9/</u> 575@(+30F) <u>9/</u> , <u>10/</u>
Explosion test series	<u>11/</u>	<u>11/</u>



SMAW-APPENDIX C

► *SMAW-Mechanical Properties*

Property	Condition	MIL-10018-M1	MIL-10718-M	MIL-12018-M2
Yield strength (ksi)	As-welded	82 - 110 <u>2/</u>	88 - 122 <u>2/</u> , <u>12/</u>	102 - 123 <u>2/</u> , <u>3/</u>
	Stress relieved	80	86	—
Ultimate tensile strength (ksi)		<u>4/</u>	<u>4/</u>	<u>4/</u>
Elongation in 2 inches (percent)	As-welded	20 <u>5/</u>	20 <u>5/</u>	18 <u>5/</u>
	Stress relieved	20	20	—
Transverse side bend		<u>6/</u>	<u>6/</u>	<u>6/</u>
Charpy V-notch <u>8/</u> Energy ft-lb average @ Temperature (F)	As-welded	35@(-60F) 60@(0F)	35@(-60F) 60@(0F)	45@(-60F) <u>8/</u> 60@(0F)
	Stress relieved	20@(-60F) 50@(0F)	20@(-60F) 50@(0F)	—
Dynamic tear, Energy ft-lb average @ Temperature (F) <u>9/</u> , <u>10/</u>	As-welded	300@(-20F) 450@(30F)	300@(-20F) 450@(30F)	400@(-20F) 575@(30F)
Explosion test series		<u>11/</u>	<u>11/</u>	<u>11/</u>



鍛接材料設計

▶ 高強度

- 合金設計 C、Mn、Si、Cr、Ni、Mo

▶ 高韌性

- 合金化
- Ti/B韌化
- 控制有害元素:H、O、N

▶ 低擴散氫

- 低水素原料
- 除氫機制



材料性質關聯

- 晶粒
- 組織形狀
- 夾雜物

顯微組織

加工

材料

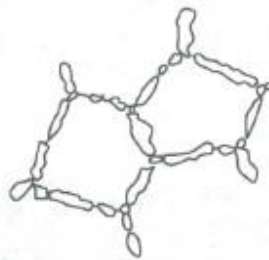
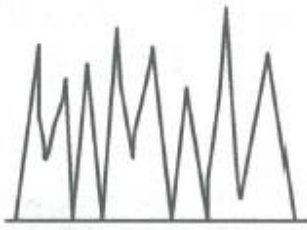
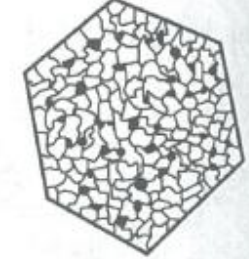
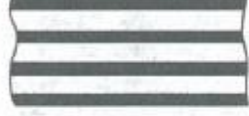
- 煅造
- 鑄造
- 冷加工
- 熱處理

- 化學成份
- 雜質

機械性質

- 強度
- 延性
- 韌性
- 硬度

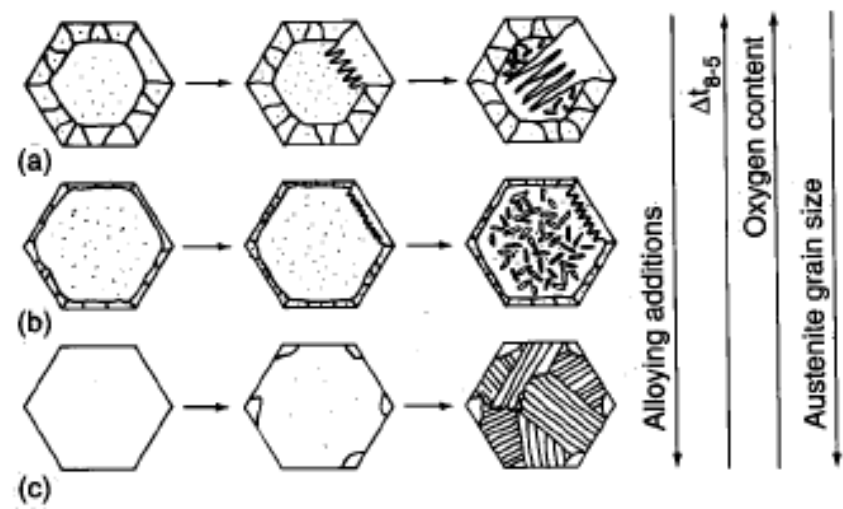
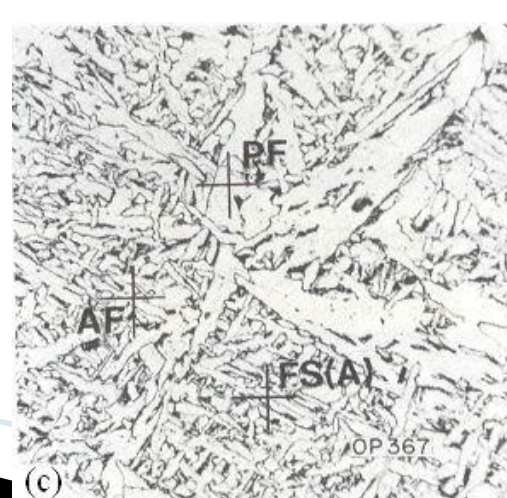
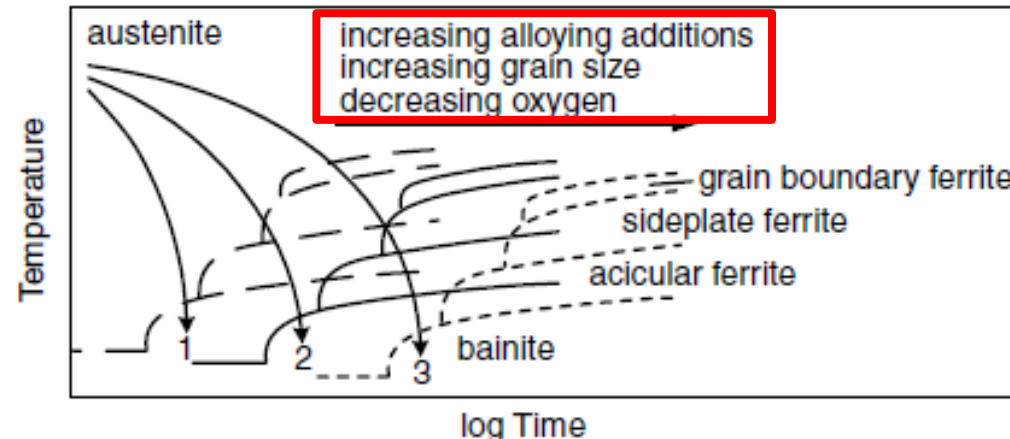
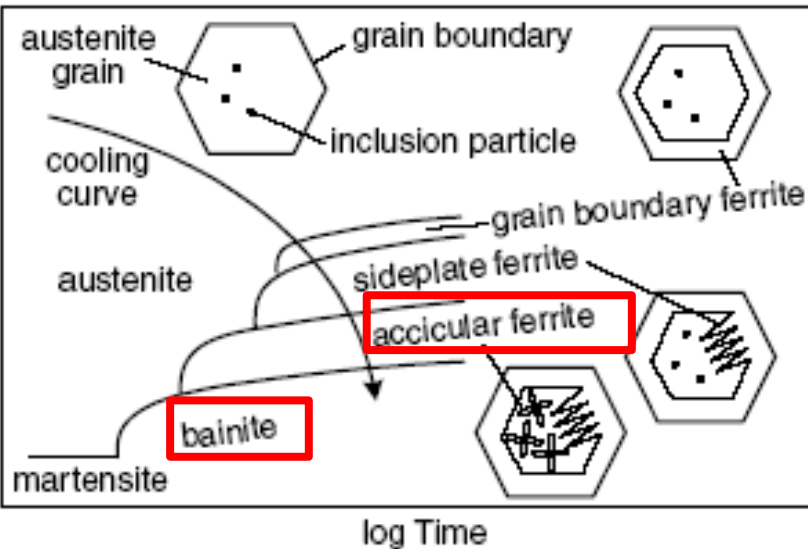
碳鋼與低合金鋼組織

铁素体(F)	先共析铁素体(GBF)	侧板条铁素体(FSP)	针状铁素体(AF)	细晶铁素体(FGF)
				
珠光体(P)	片层珠光体(PL)	索氏体(PS)	托氏体(PT)	
				片层间距 > 0.3μm 片层间距 0.1 ~ 0.3μm 片层间距 < 0.1μm

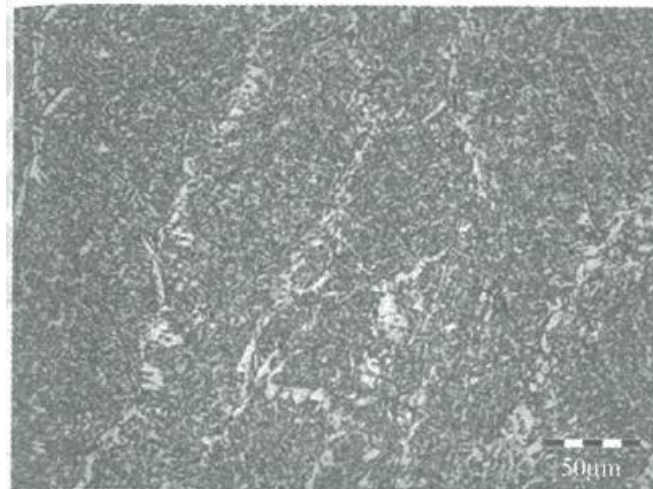
碳鋼與低合金鋼組織

	上贝氏体(B_u)		下贝氏体(B_L)		粒状贝氏体(B_g)	条状贝氏体(B_p)
贝氏体(B)	组织形态	显微结构	组织形态	显微结构		
马氏体(M)	板条马氏体(M_D)			片状马氏体(M_T)		
	组织形态	显微结构	组织形态	显微结构		

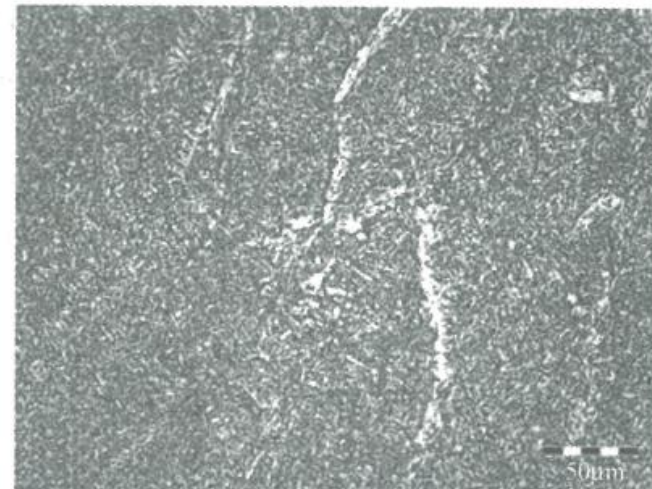
組織變化因素



合金元素影響



a) 0.004Ti



b) 0.02Ti

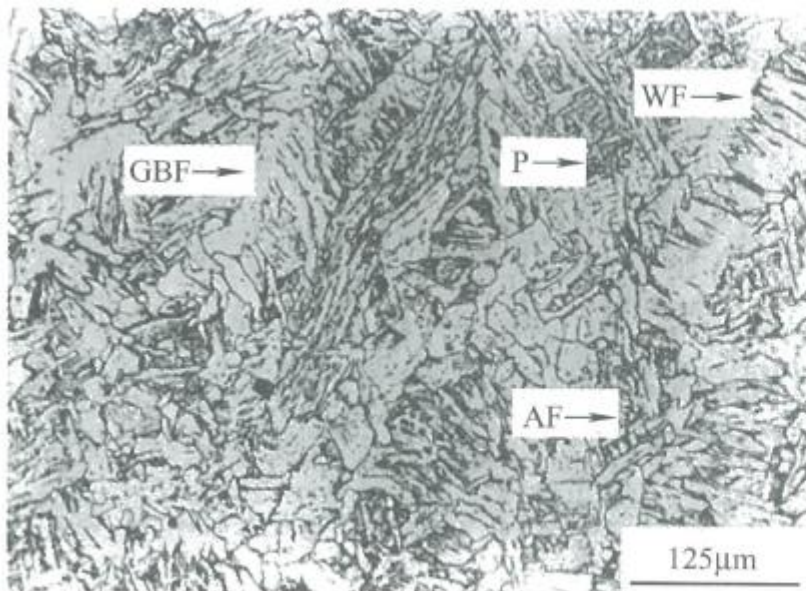


0.05Ti

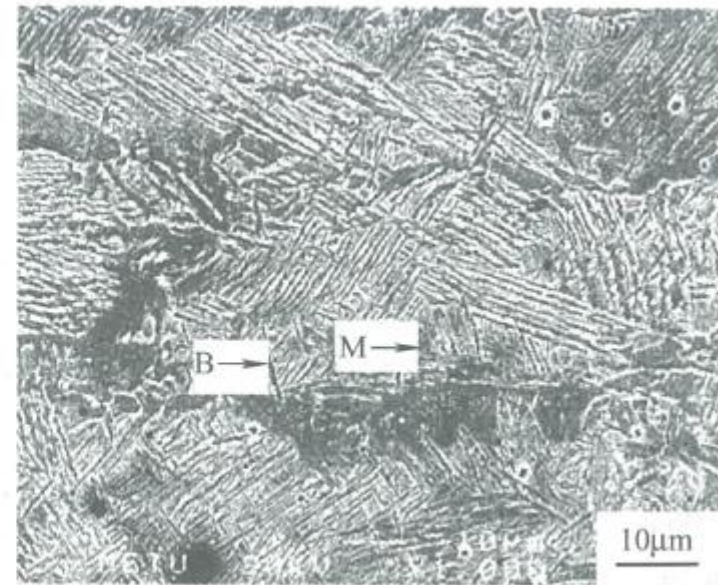


0.09Ti

入熱量影響

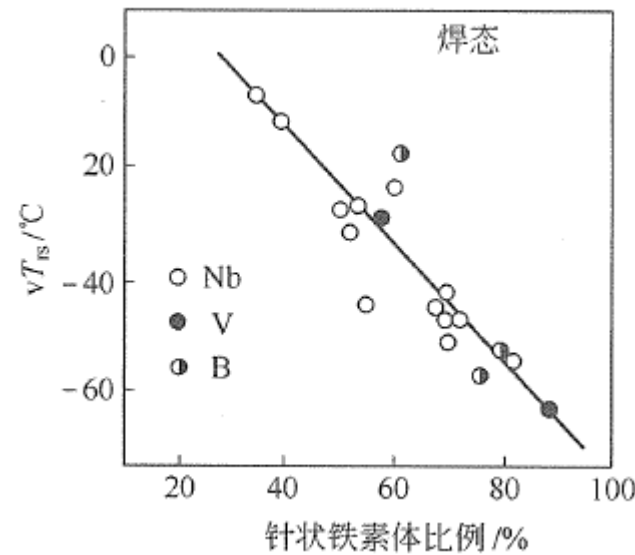
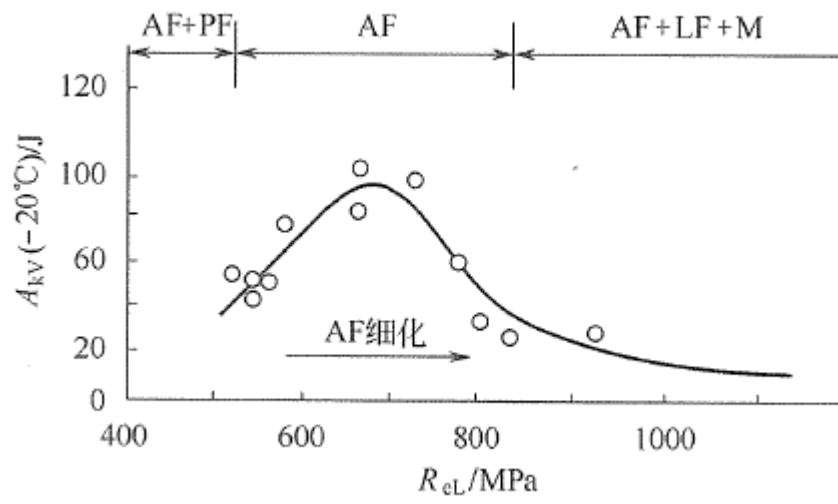


a) $E=2\text{kJ/mm}$

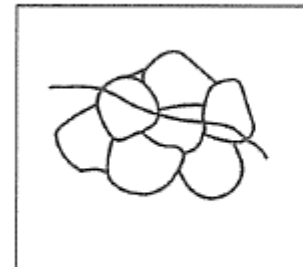


b) $E=0.5\text{kJ/mm}$

顯微組織與強度韌性關係

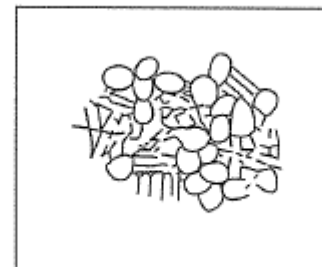


高温形成



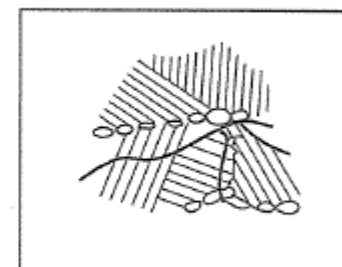
(a) 粗大铁素体，韧性差

中温形成



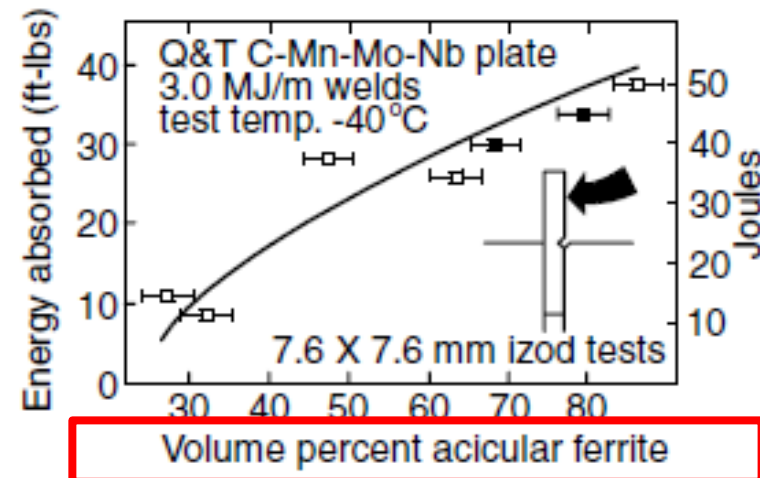
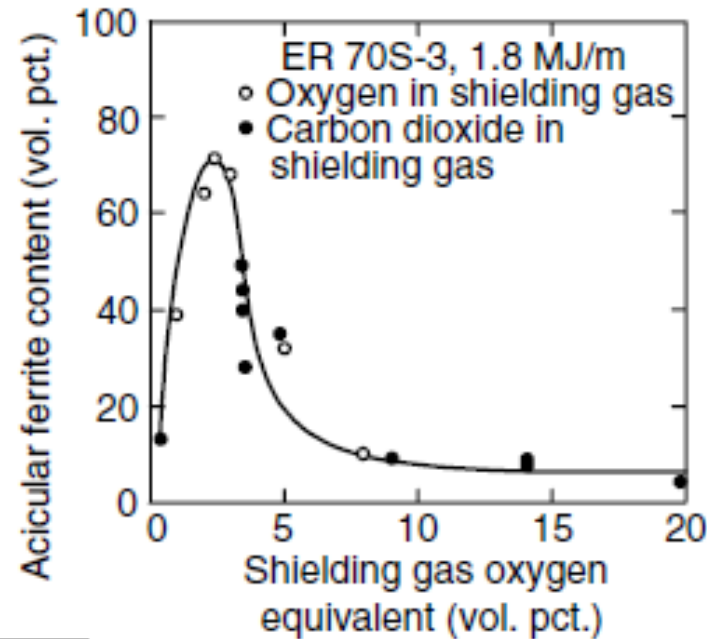
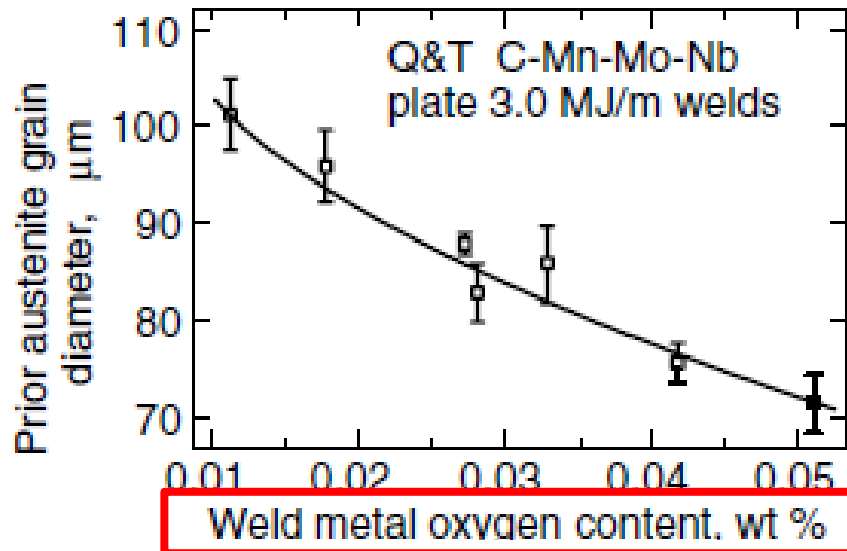
(b) 粒状十条状，高韧性

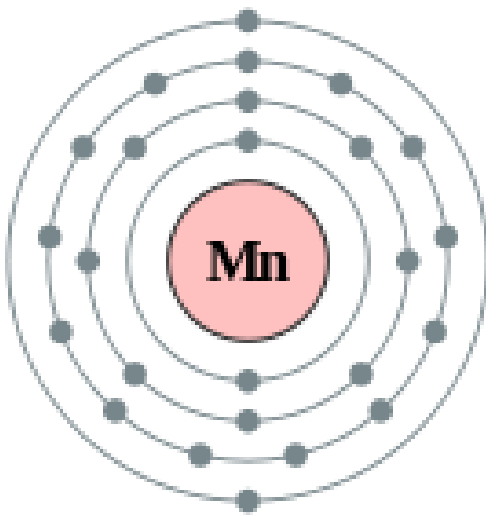
低温形成



(c) 条状铁素体，韧性差

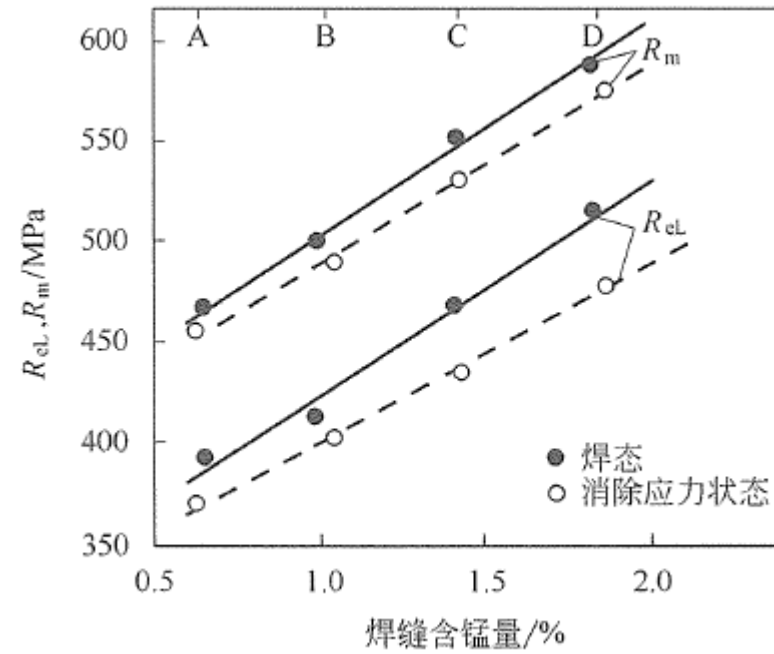
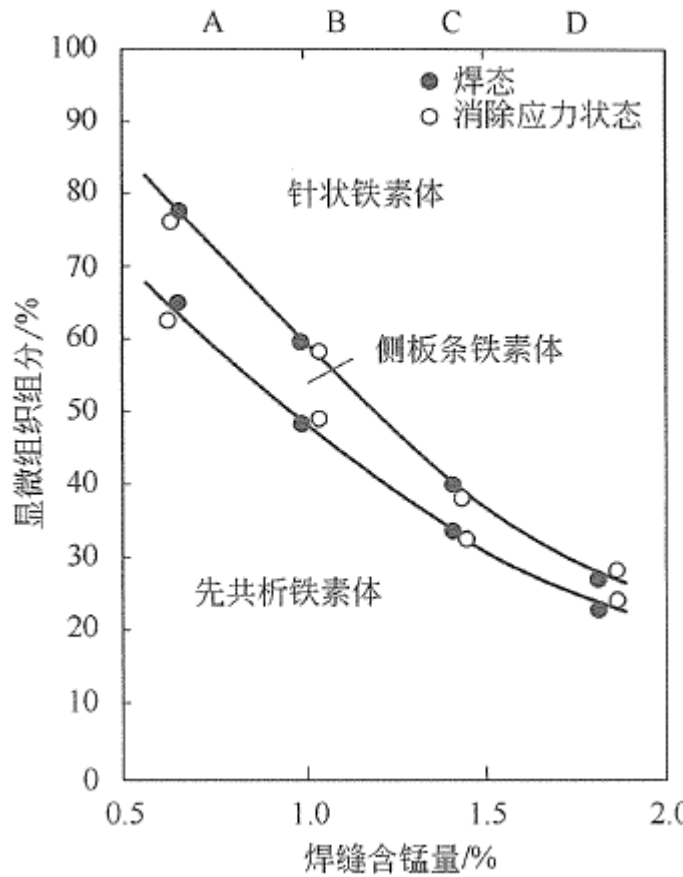
低温衝擊韌性





合金設計-Mn

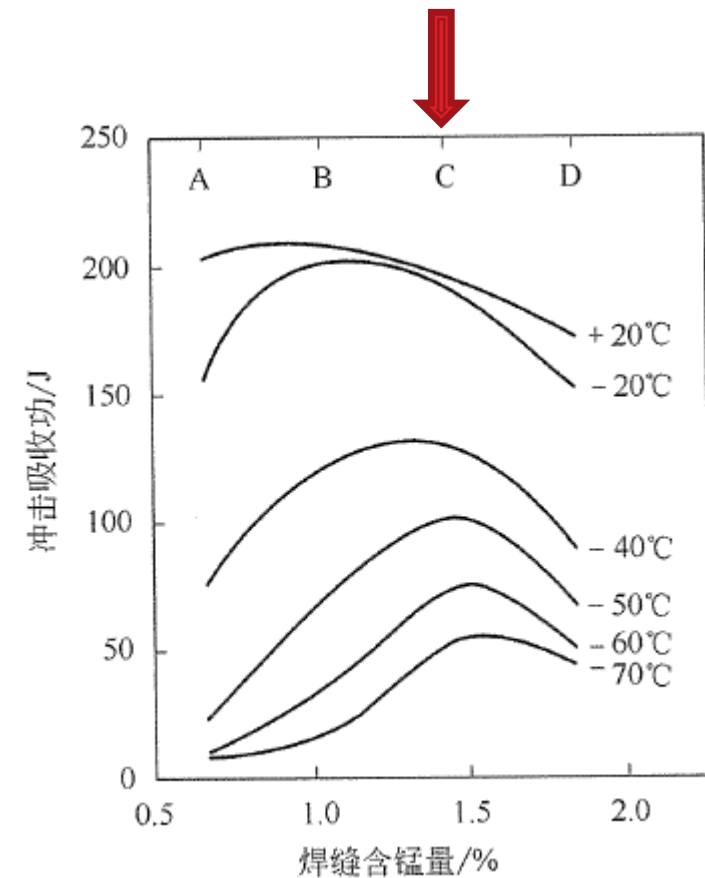
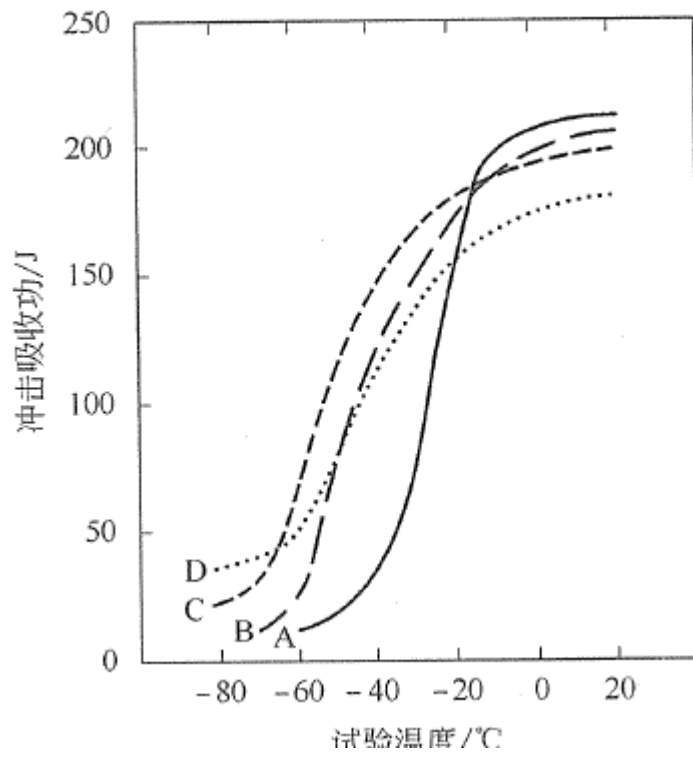
錳元素影響-組織&強度



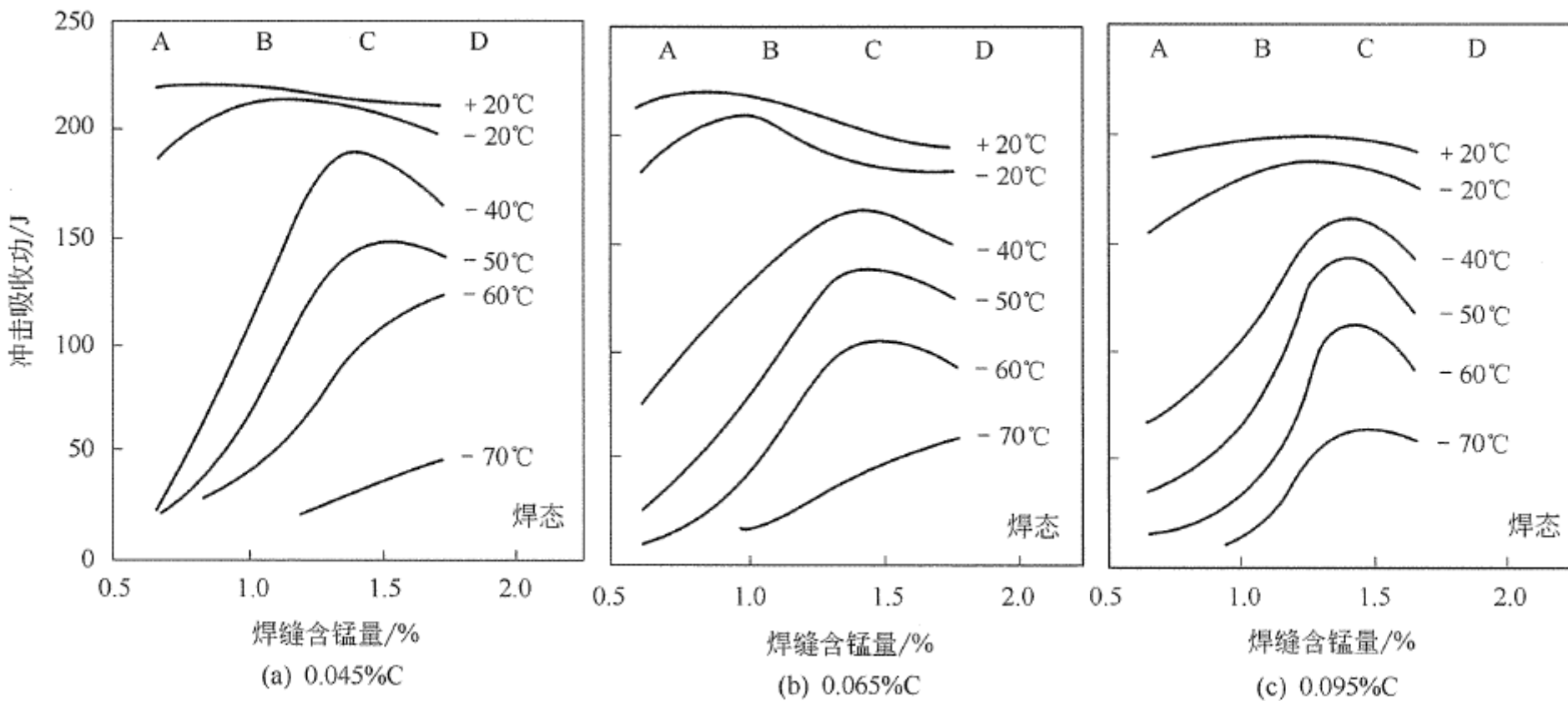
$$R_{el} = 314 + 108w \text{ (Mn)}$$

$$R_m = 394 + 108w \text{ (Mn)}$$

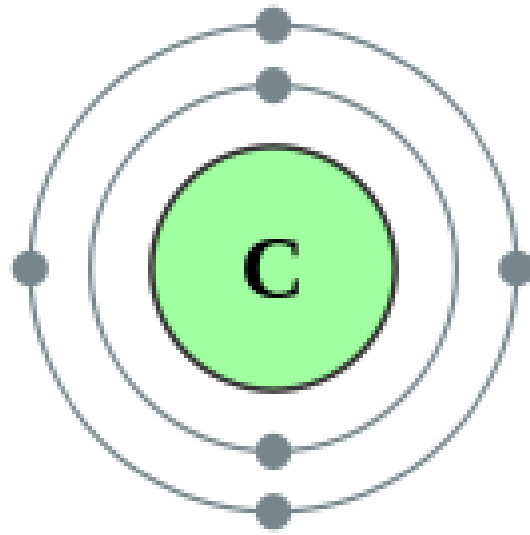
錳元素影響-低溫韌性



不同碳含量錳元素影響

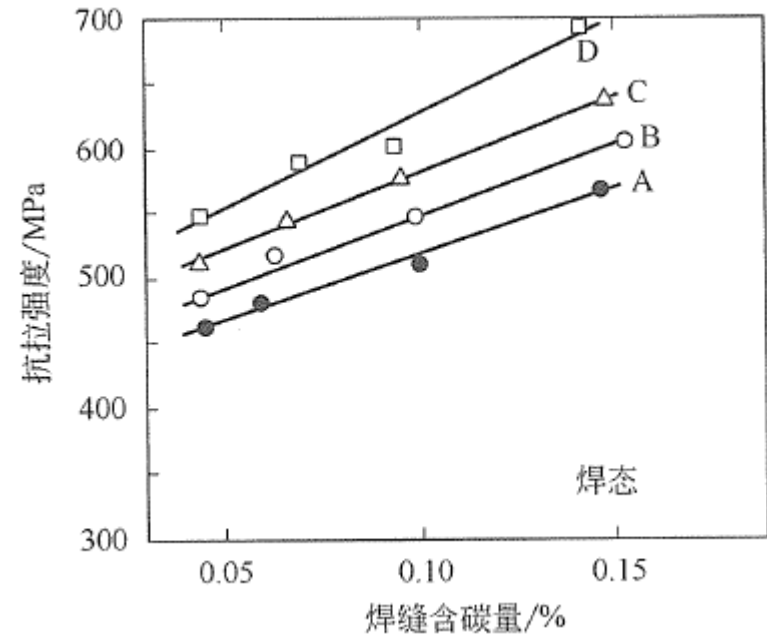
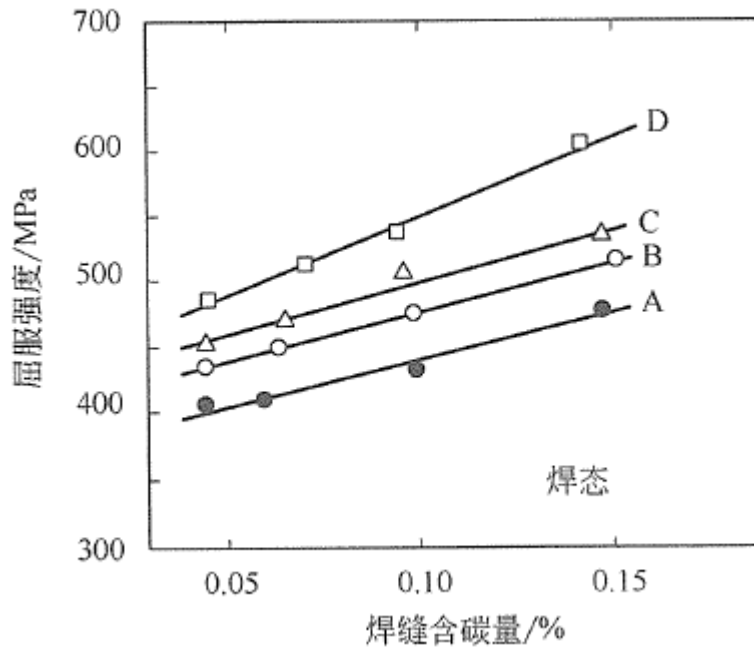


Mn設計在1.2~1.6之間

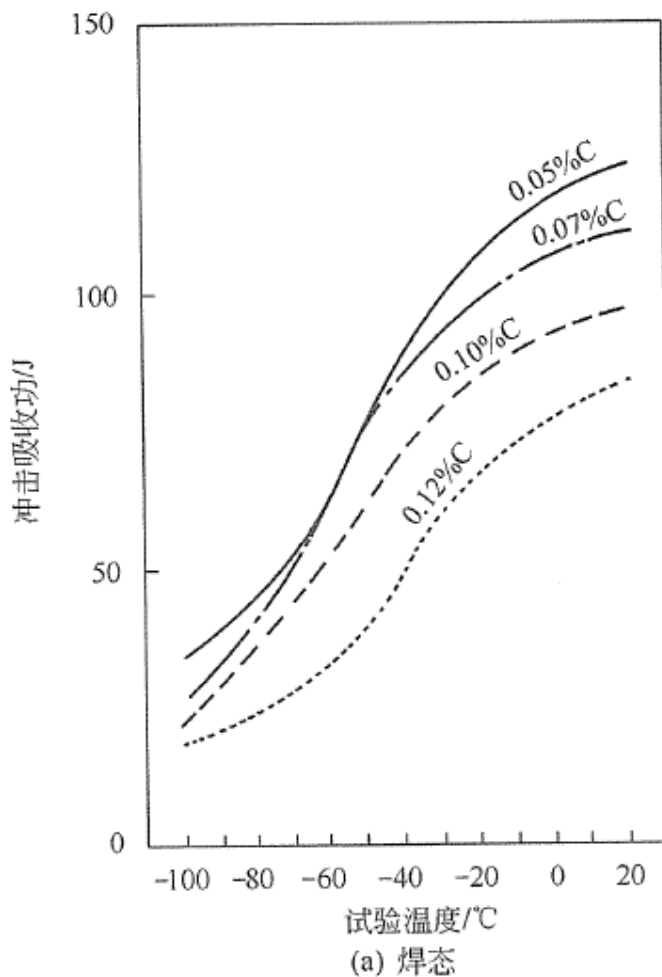


合金設計-C

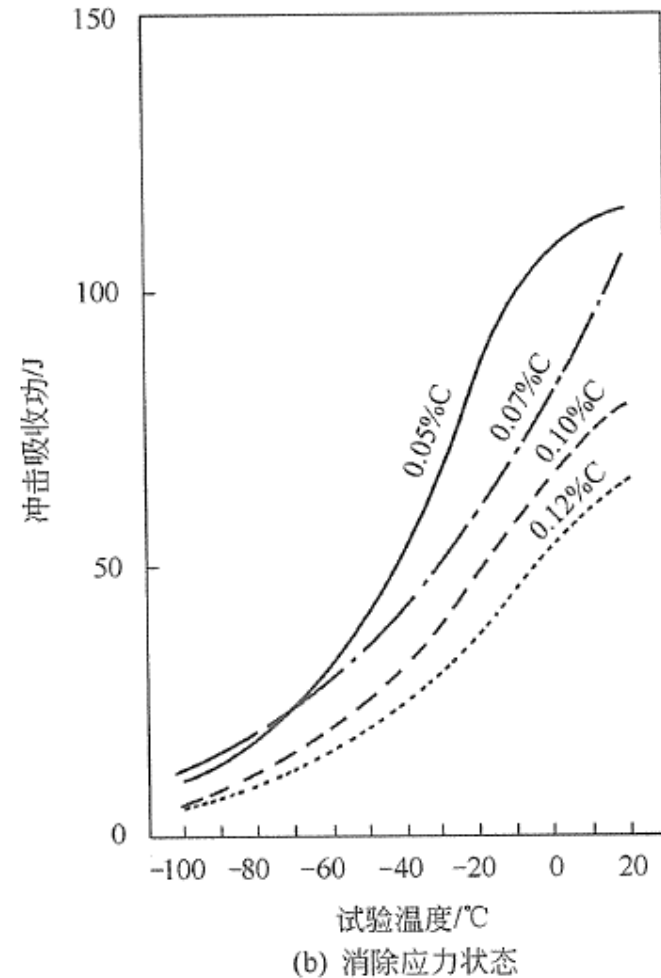
碳元素影響-強度



碳元素影響-低溫韌性



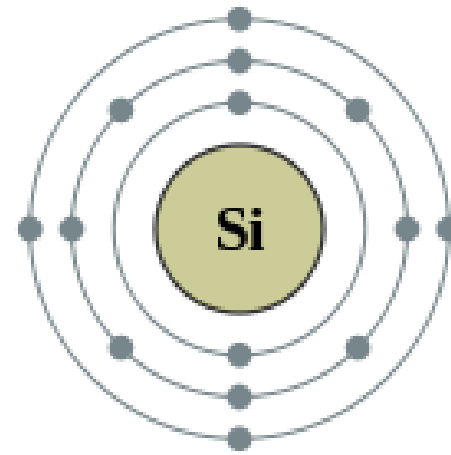
(a) 焊态



(b) 消除应力状态

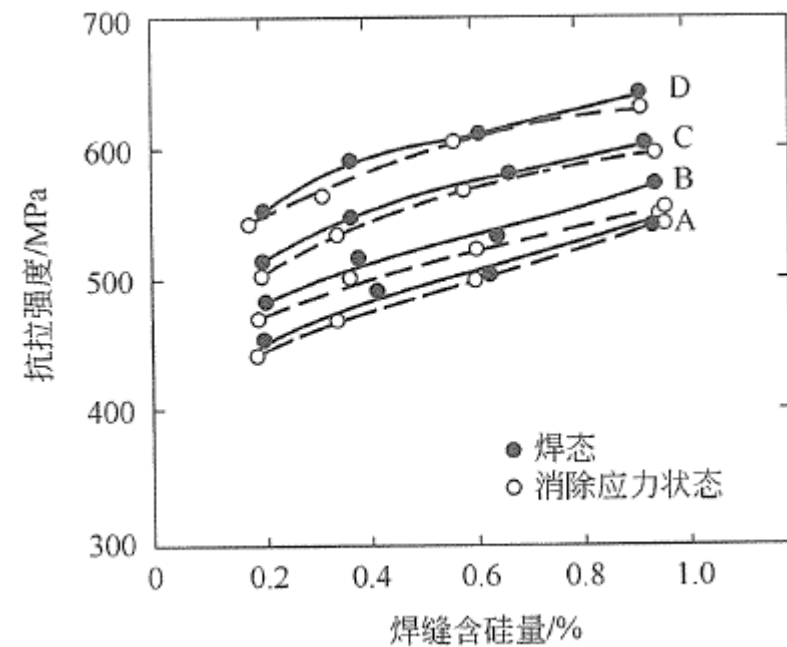
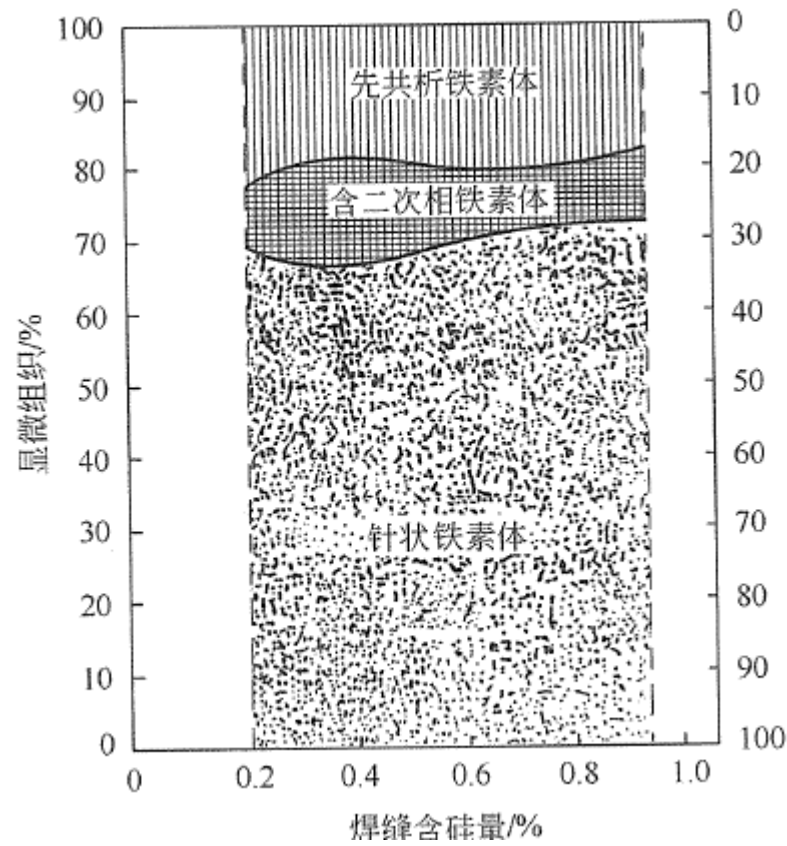


C設計在**0.06**左右

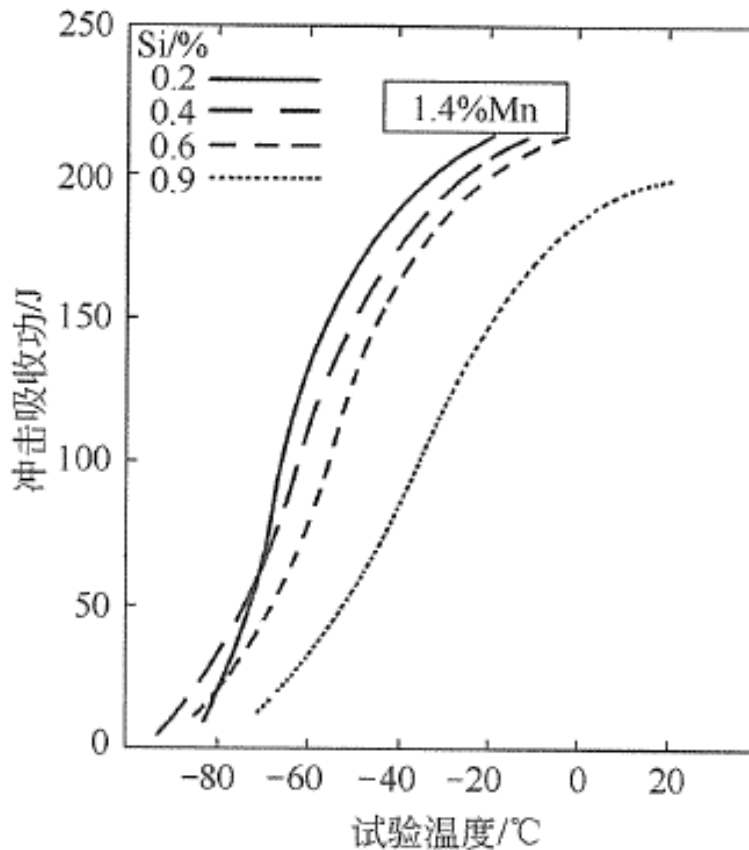


合金設計-Si

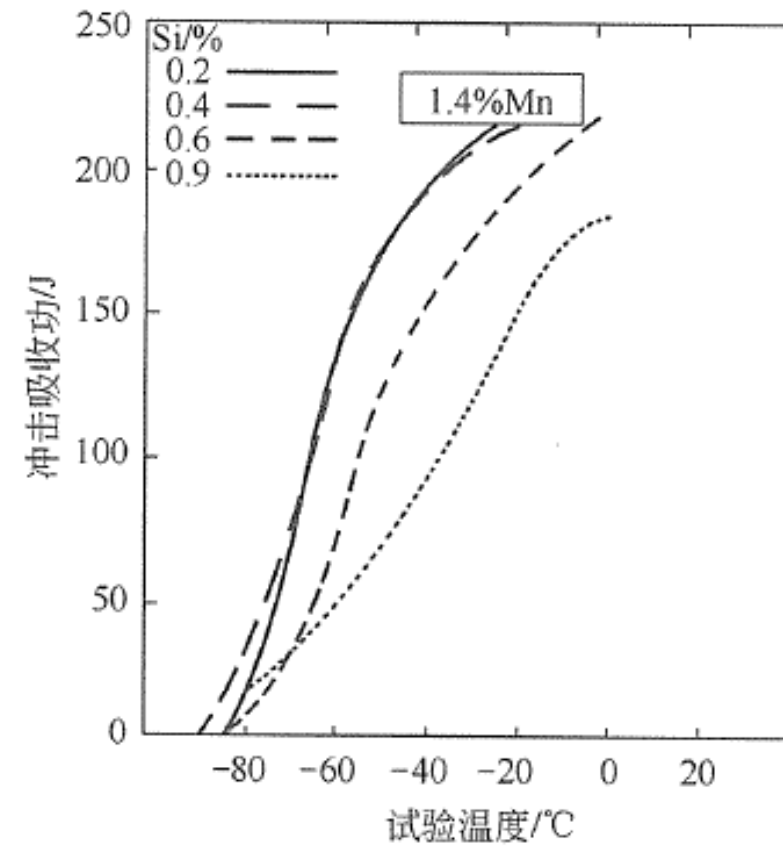
矽元素影響-組織&強度



矽元素影響-低溫韌性



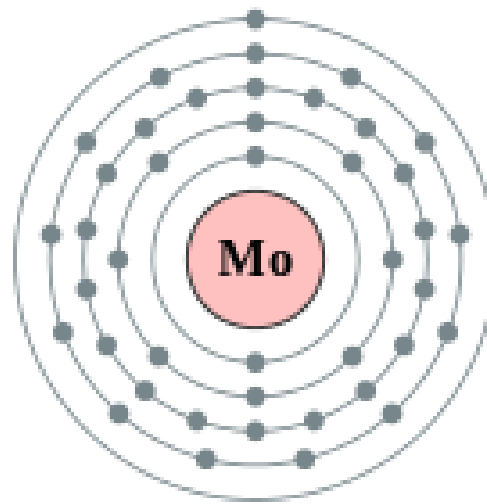
(a) 焊态



(b) 消除应力状态

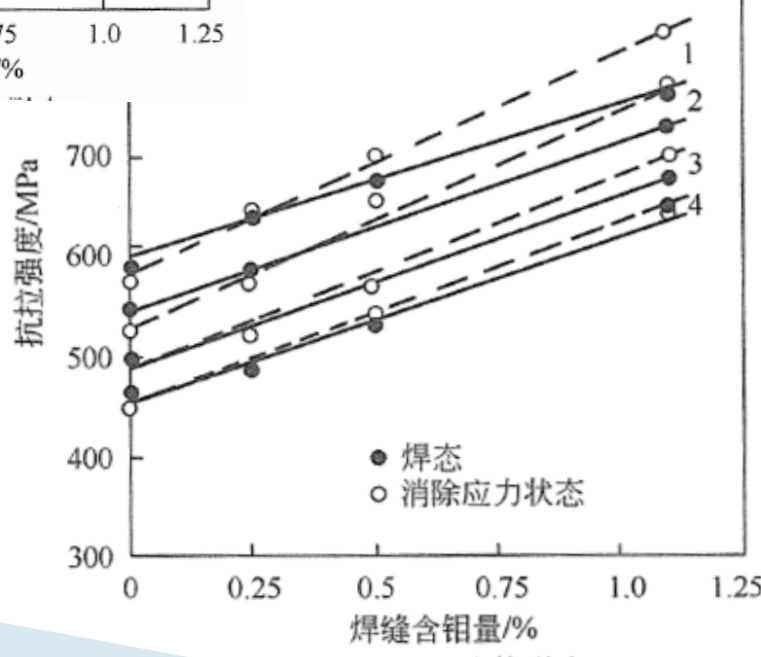
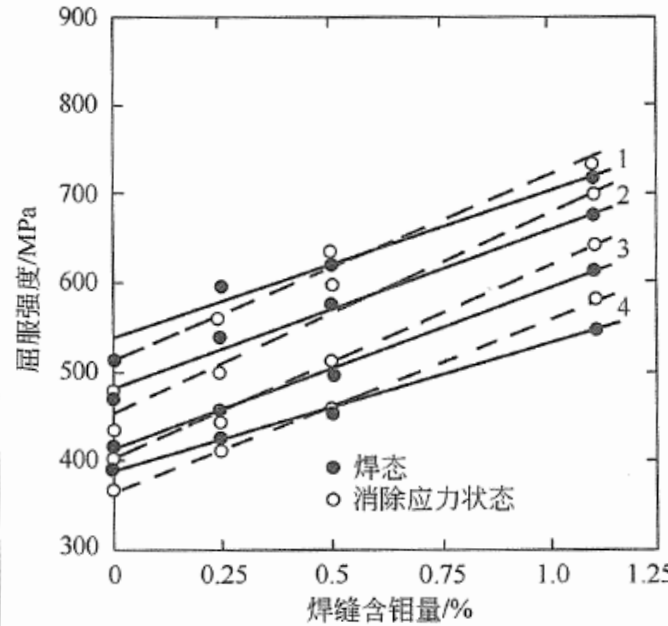
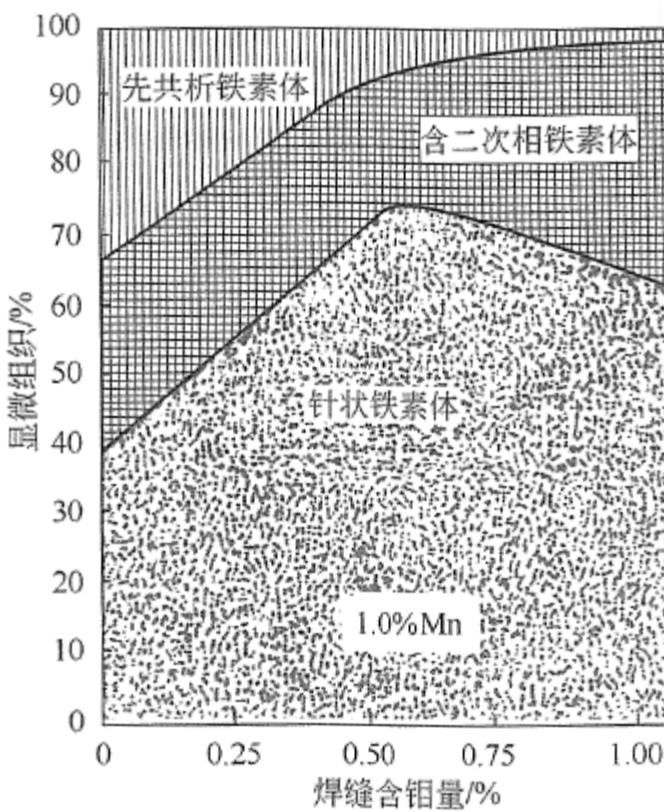


Si設計在**0.2~0.6**之間

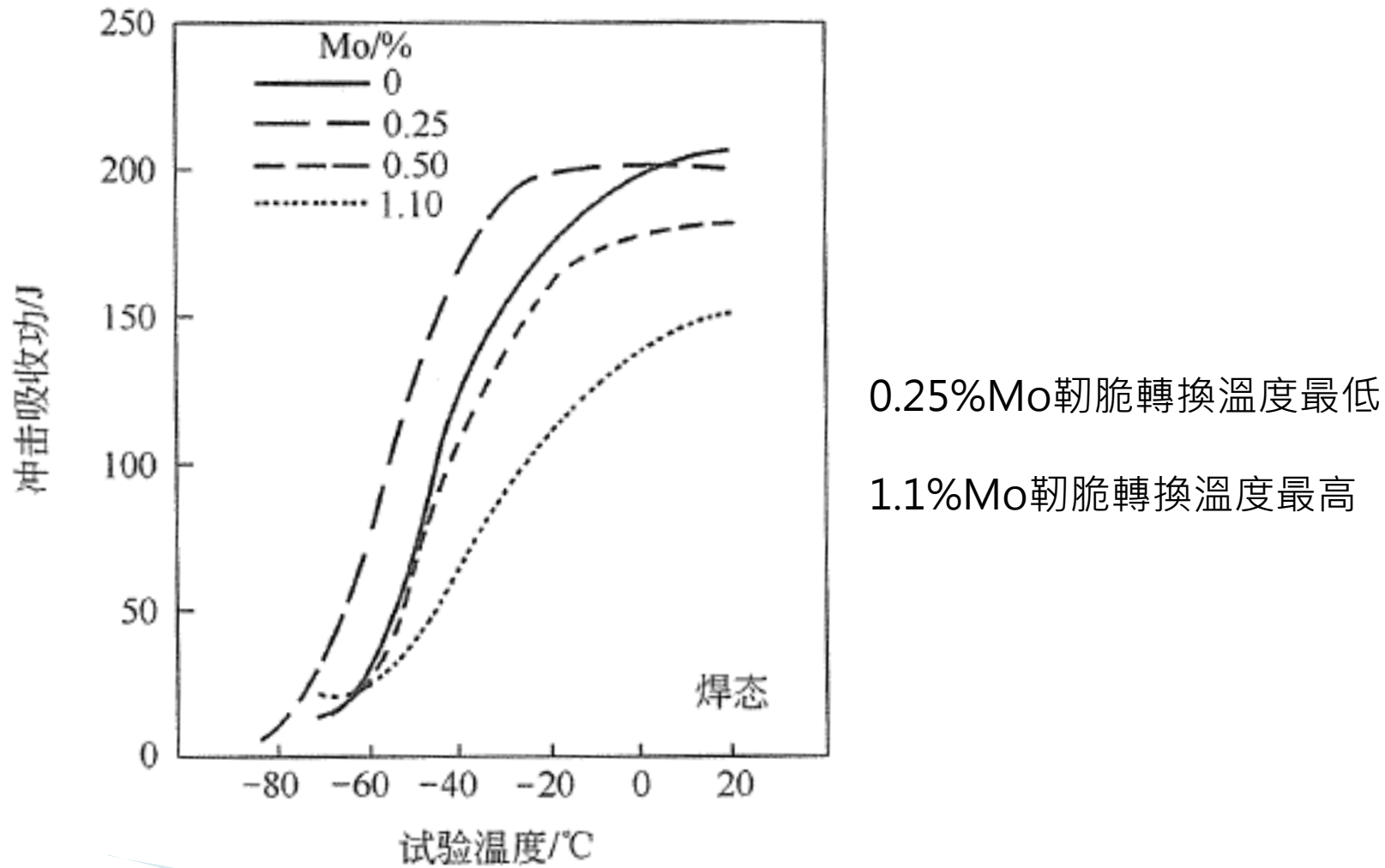


合金設計-Mo

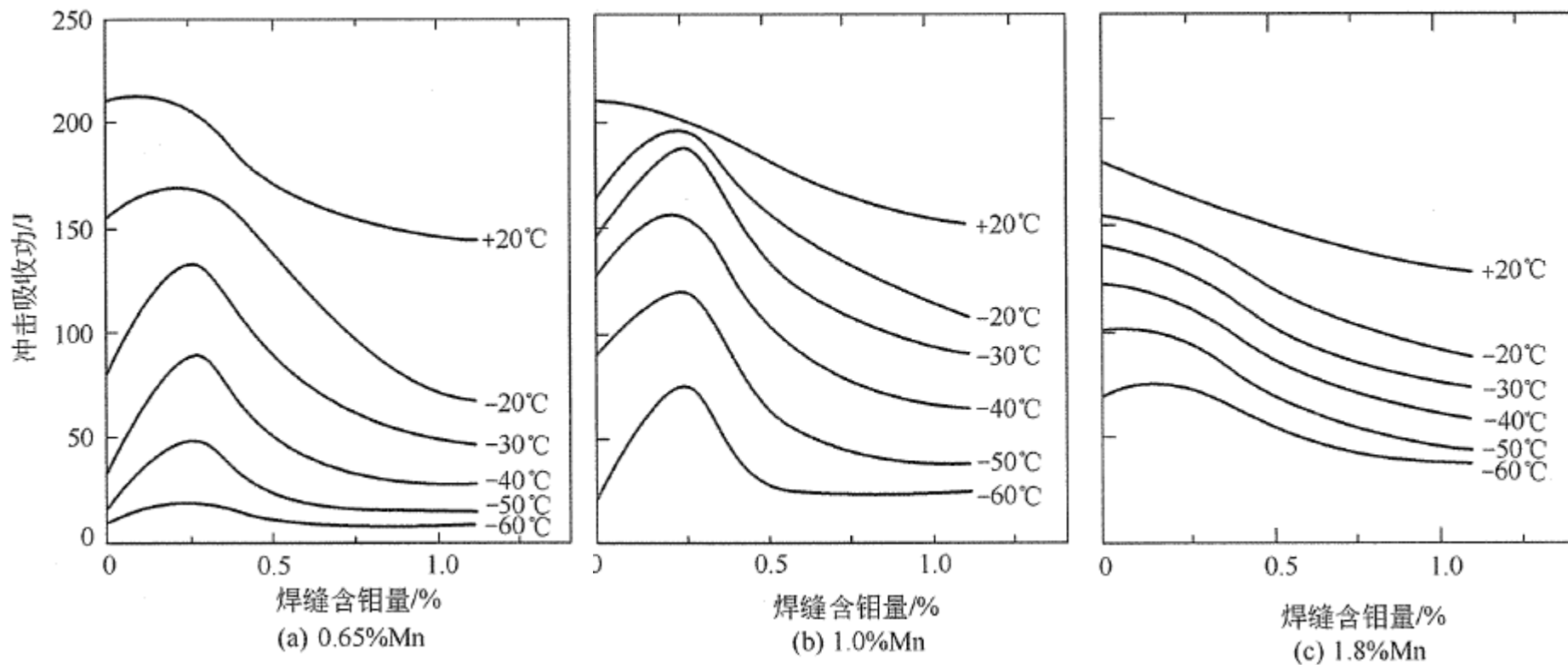
鉻元素影響-組織&強度



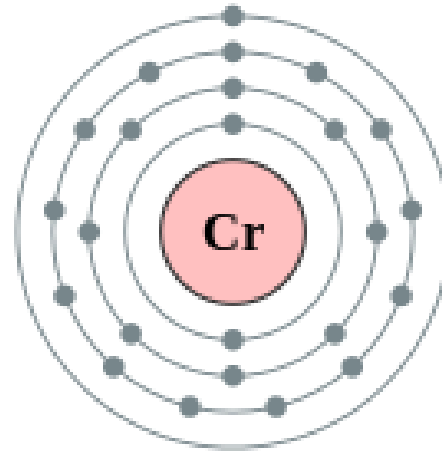
鉬元素影響-低溫韌性



不同錳含量鉬元素影響

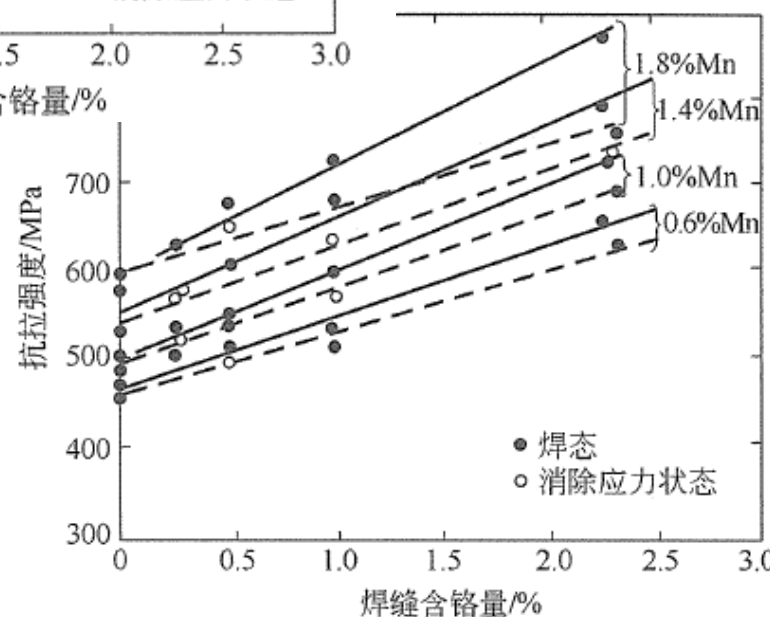
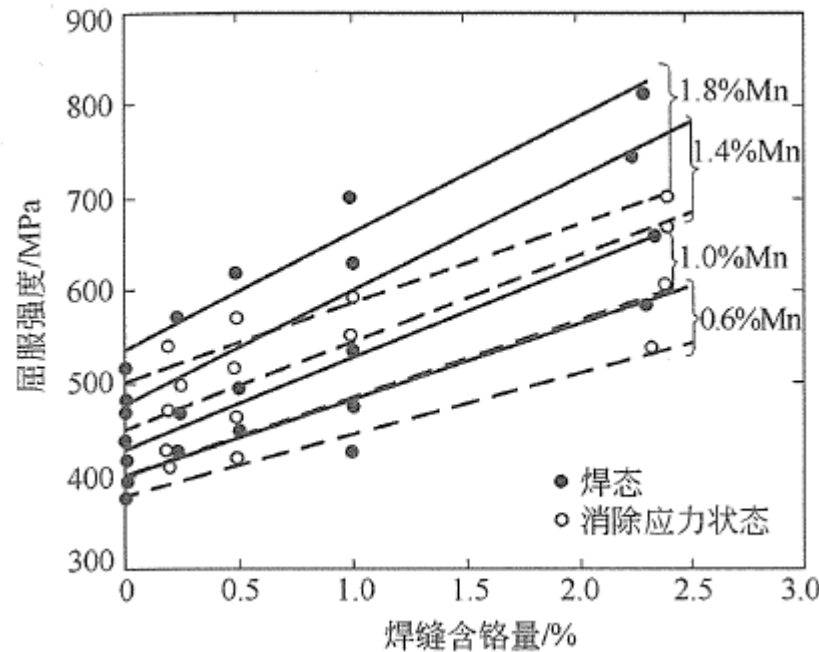
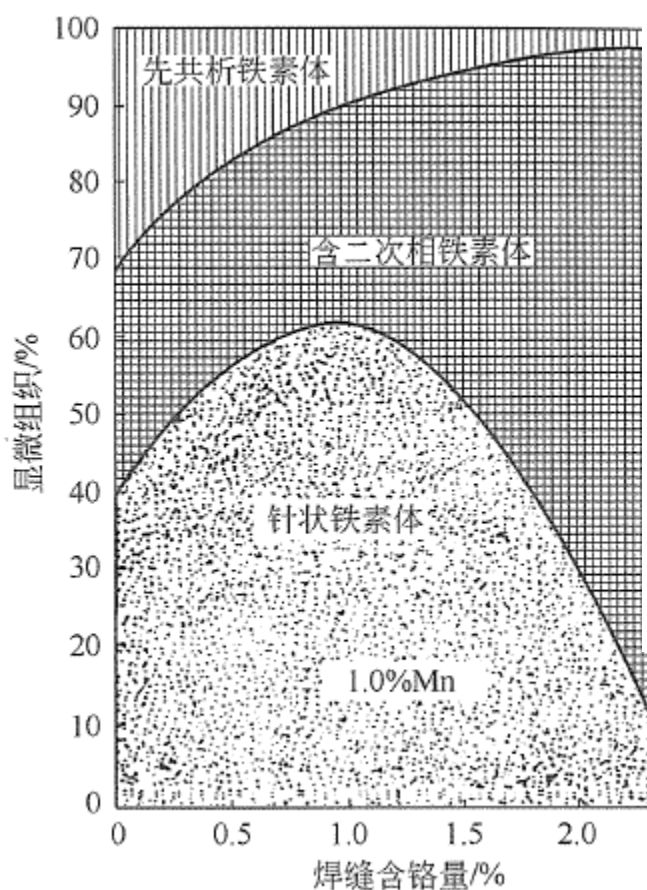


Mo設計在**0.2~0.4**之間

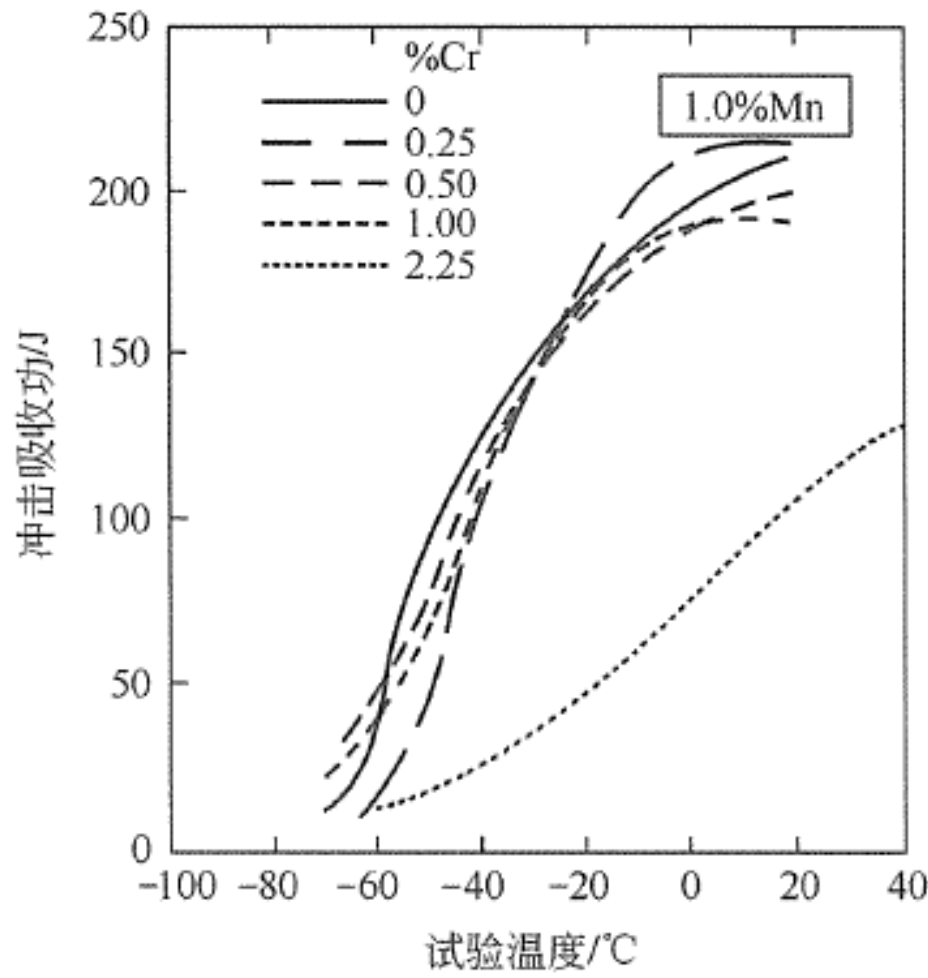


合金設計-Cr

鉻元素影響-組織&強度

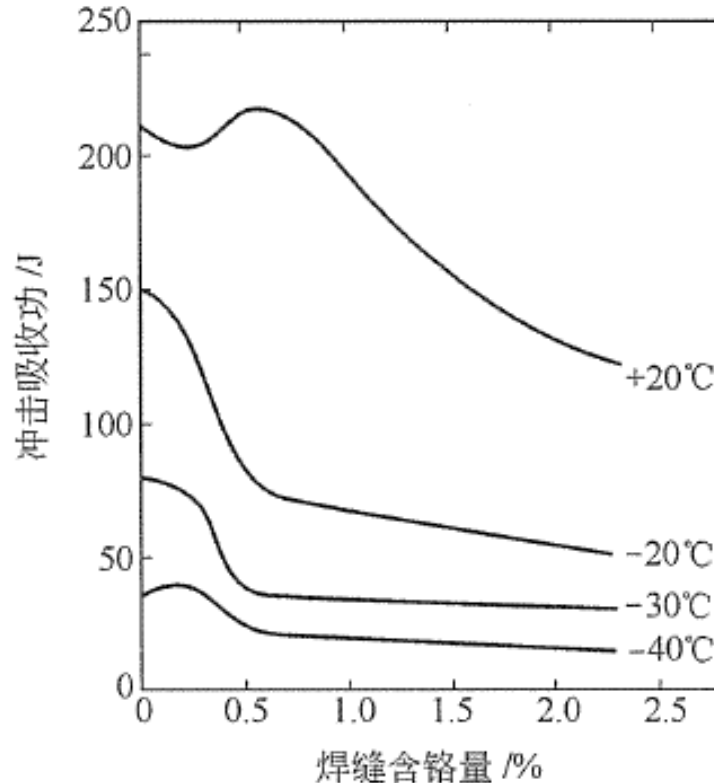


鉻元素影響-低溫韌性

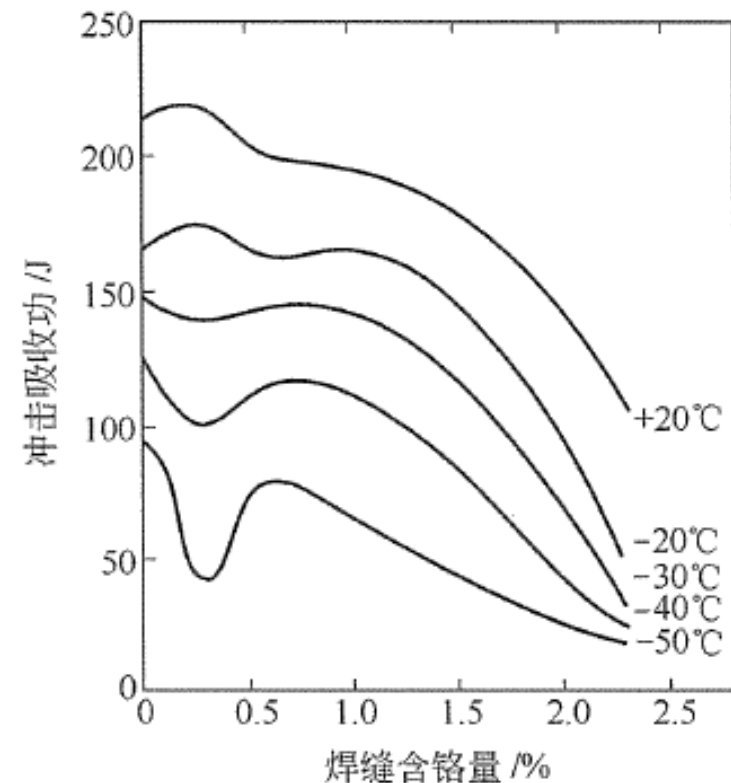


2.25%Cr脆轉換溫度最高

不同錳含量鉻元素影響



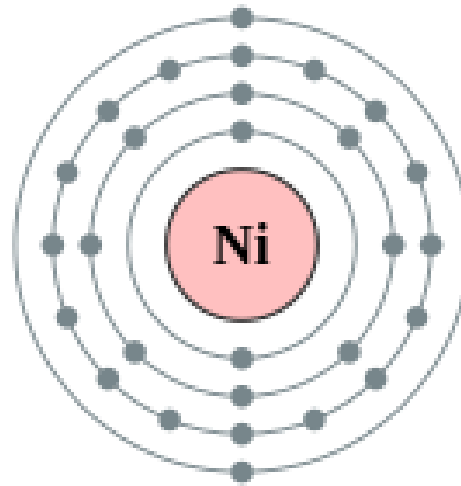
(a) 焊态, 0.65%Mn



(b) 焊态, 1.0%Mn

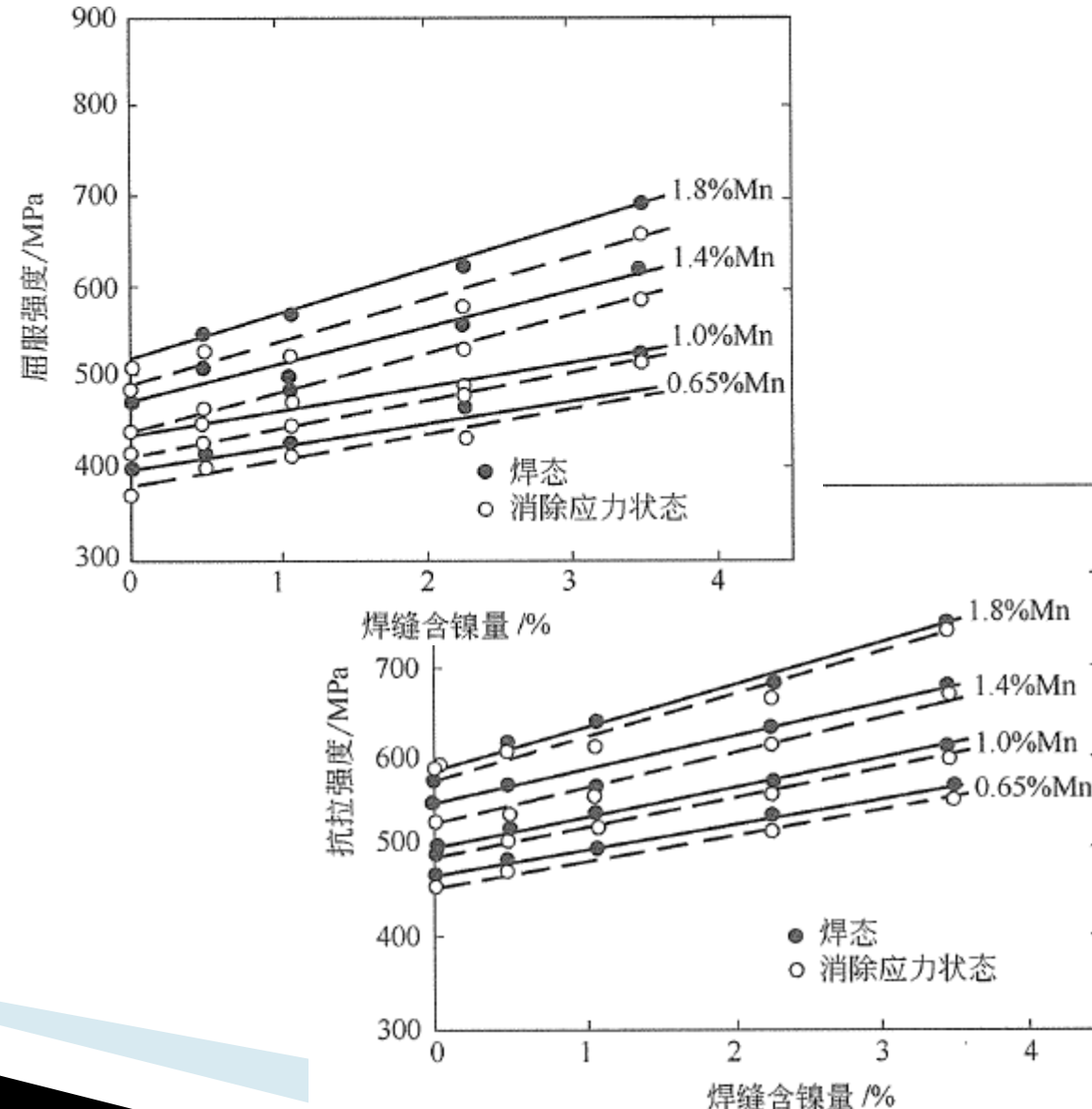
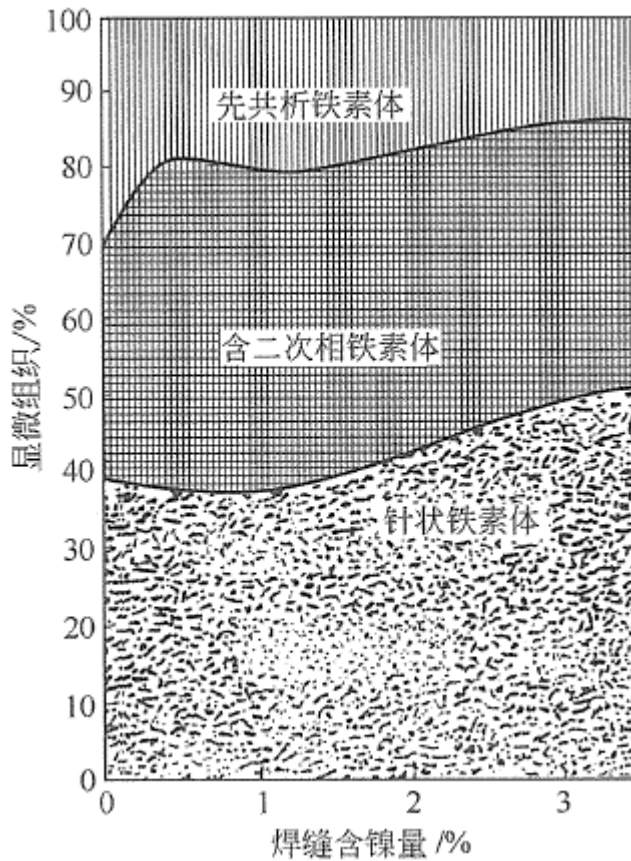


Cr設計在**0.25**以下

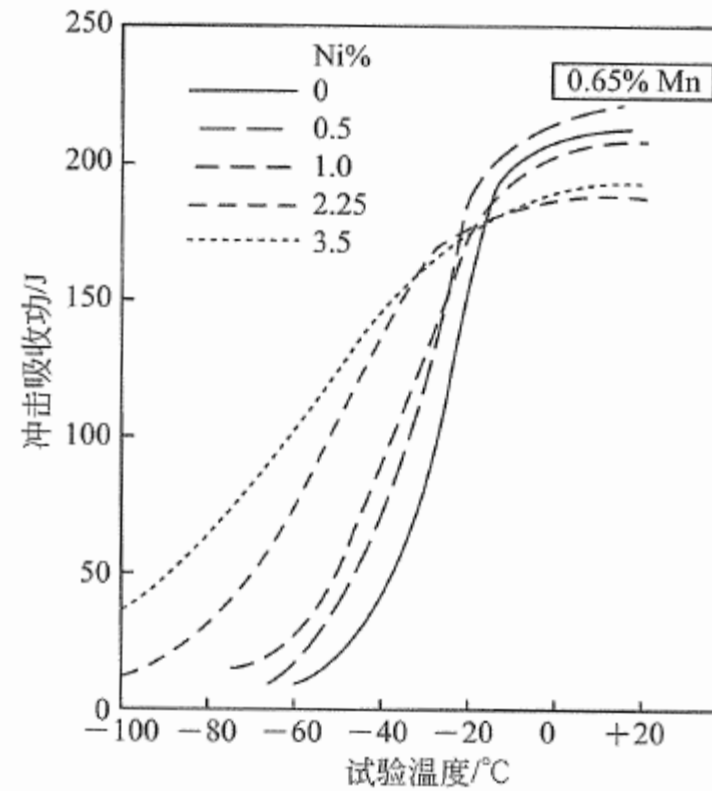


合金設計-Ni

鎳元素影響-組織&強度



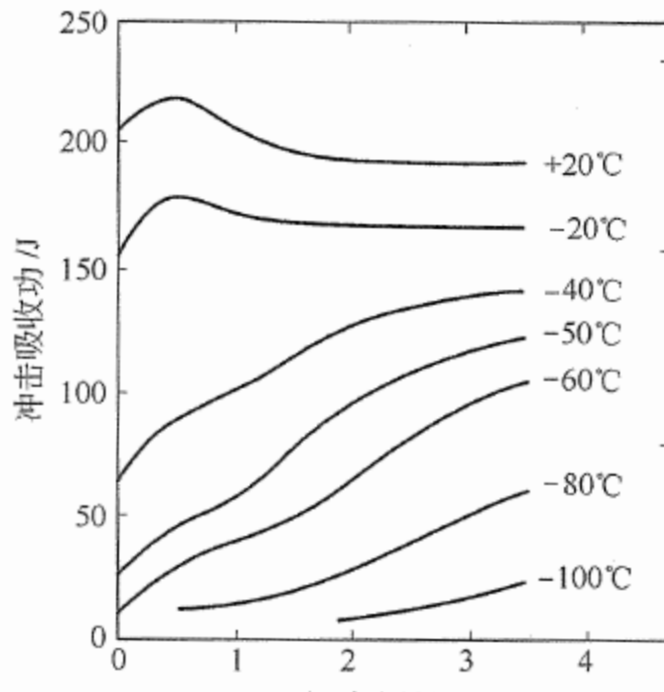
鎳元素影響-低溫韌性



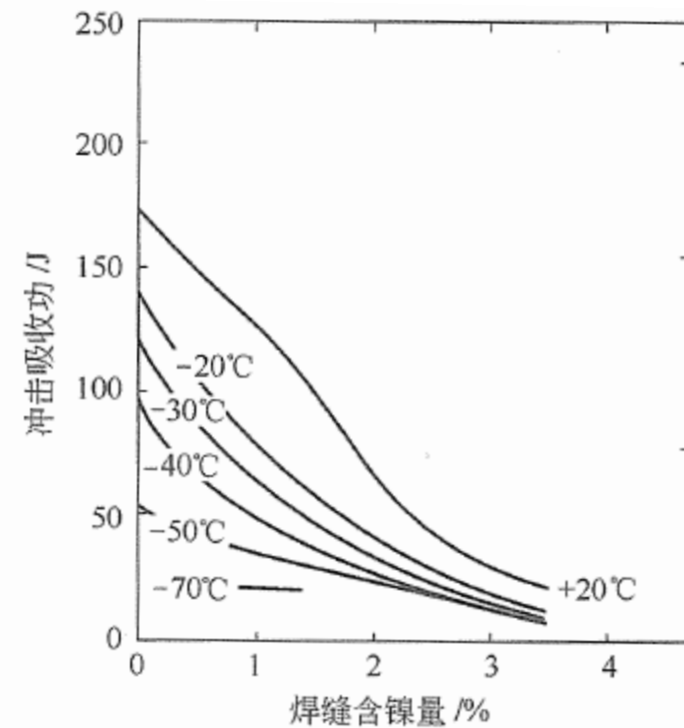
3.5%Ni 韌脆轉換溫度最低

0%Ni 韌脆轉換溫度最高

不同錳含量鎳元素影響



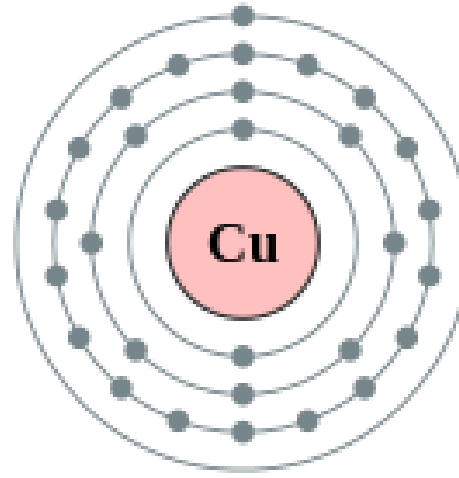
(a) 焊缝含 0.65% Mn



(b) 焊缝含 1.8% Mn

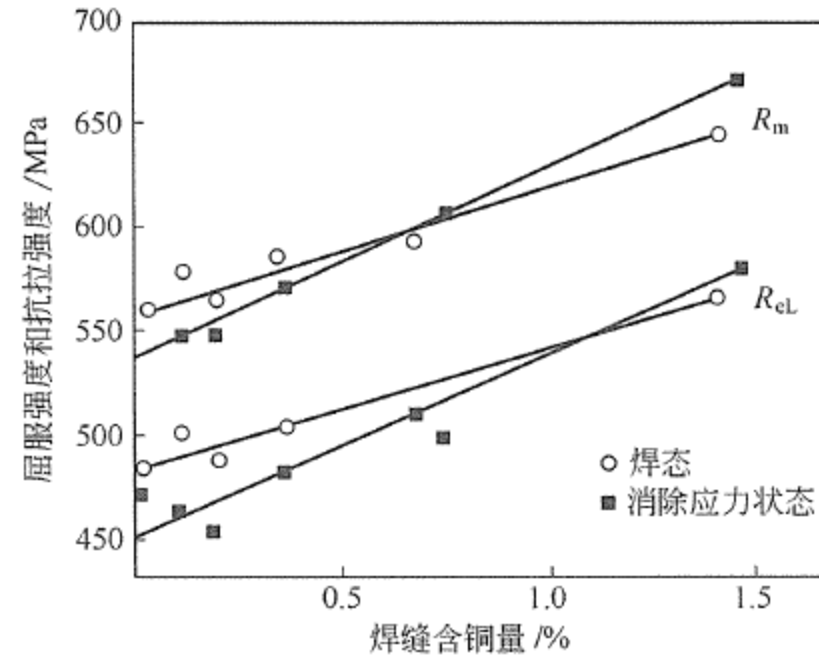


Ni設計在 1.5~2.5 之間

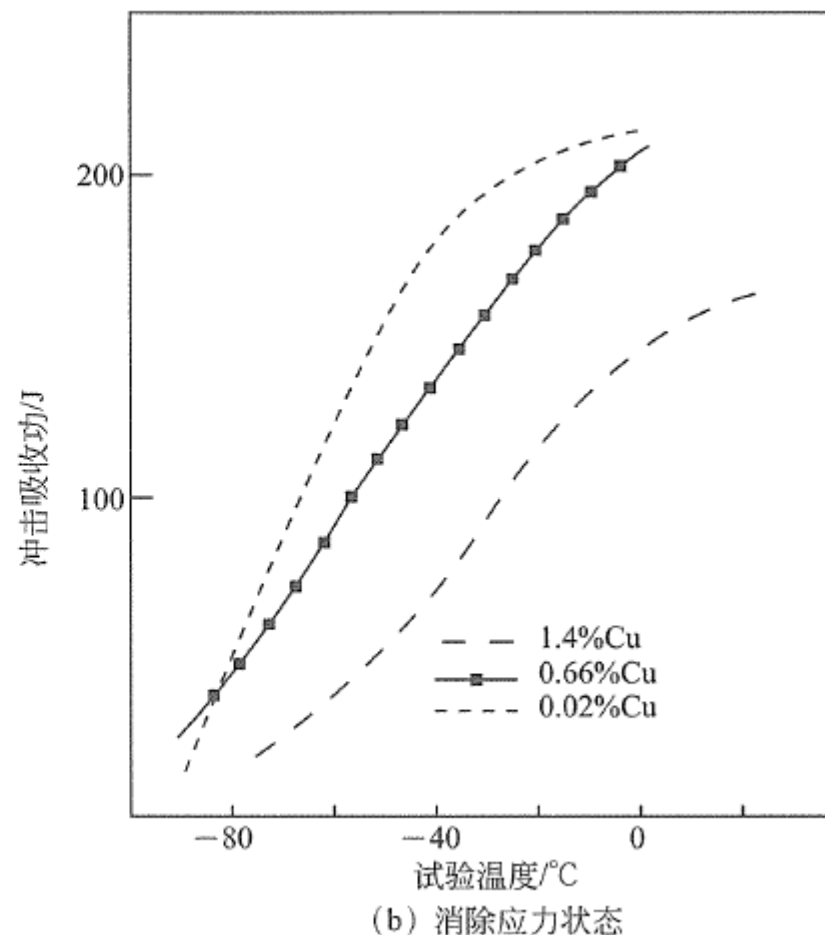
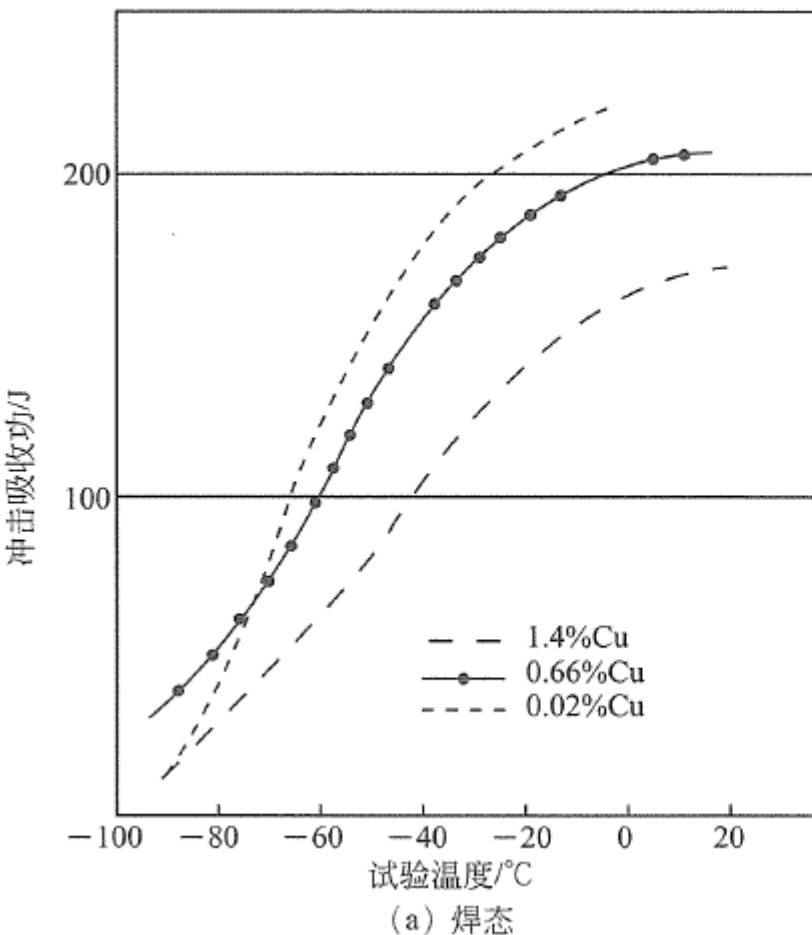


合金設計-Cu

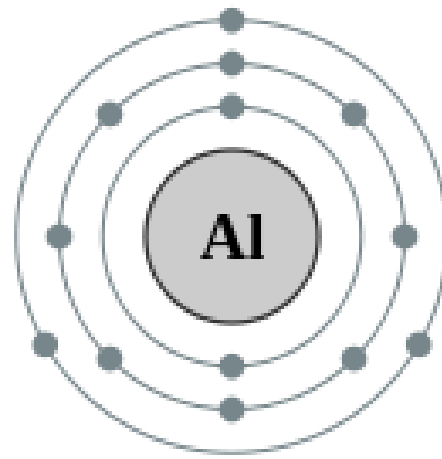
銅元素影響-強度



銅元素影響-低溫韌性

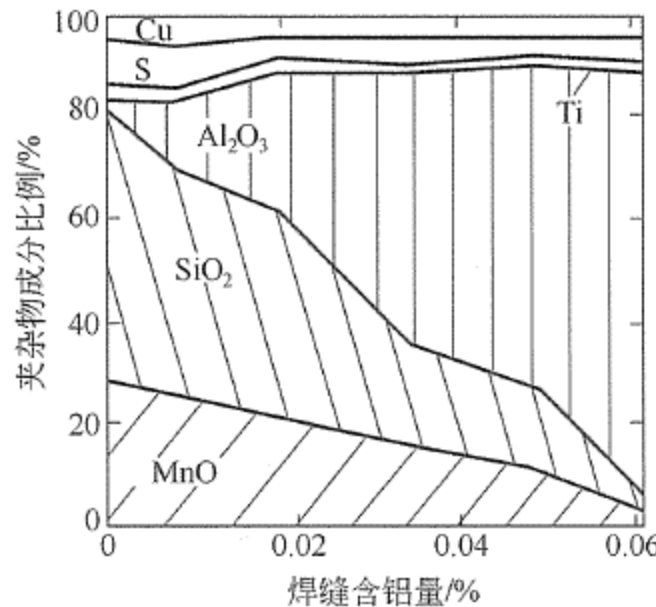
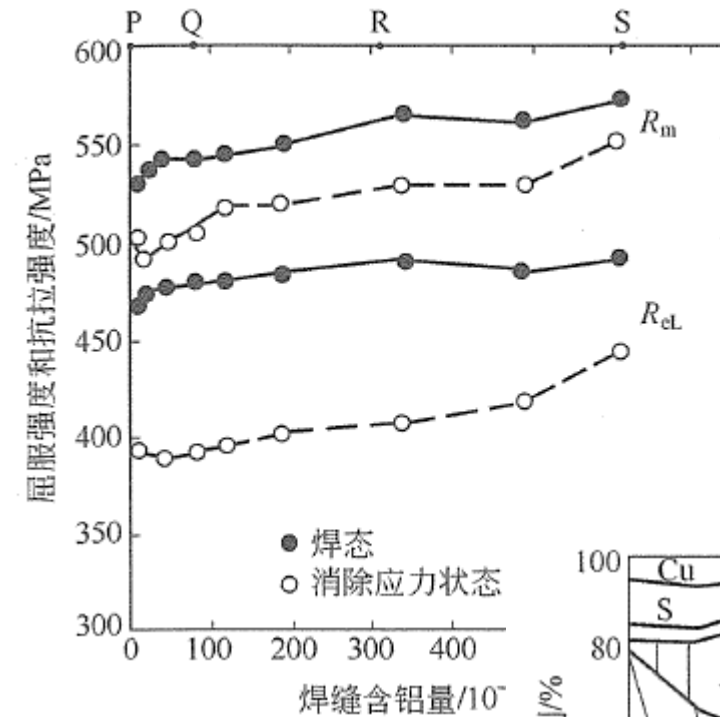
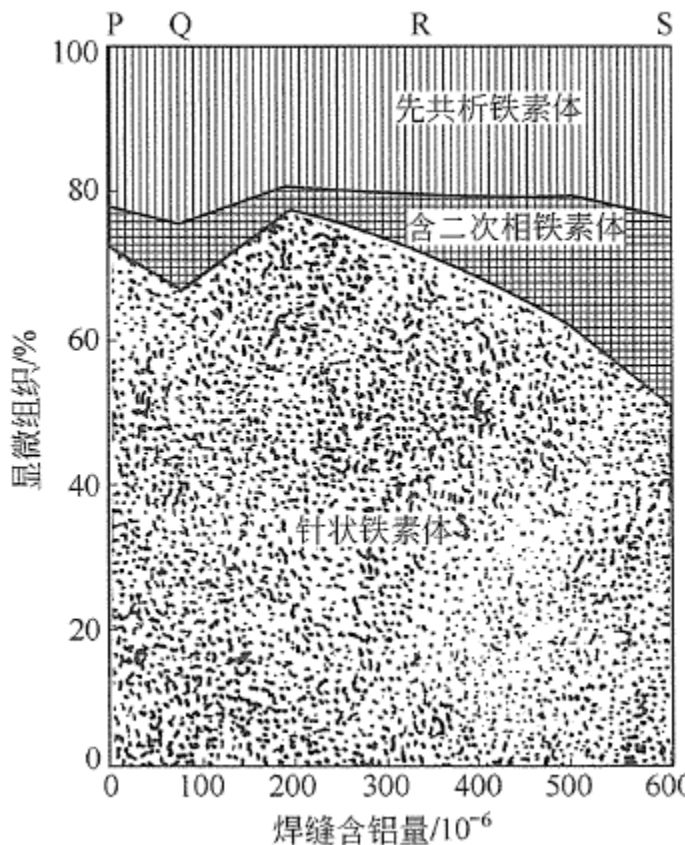


Cu設計在**0.05**以下

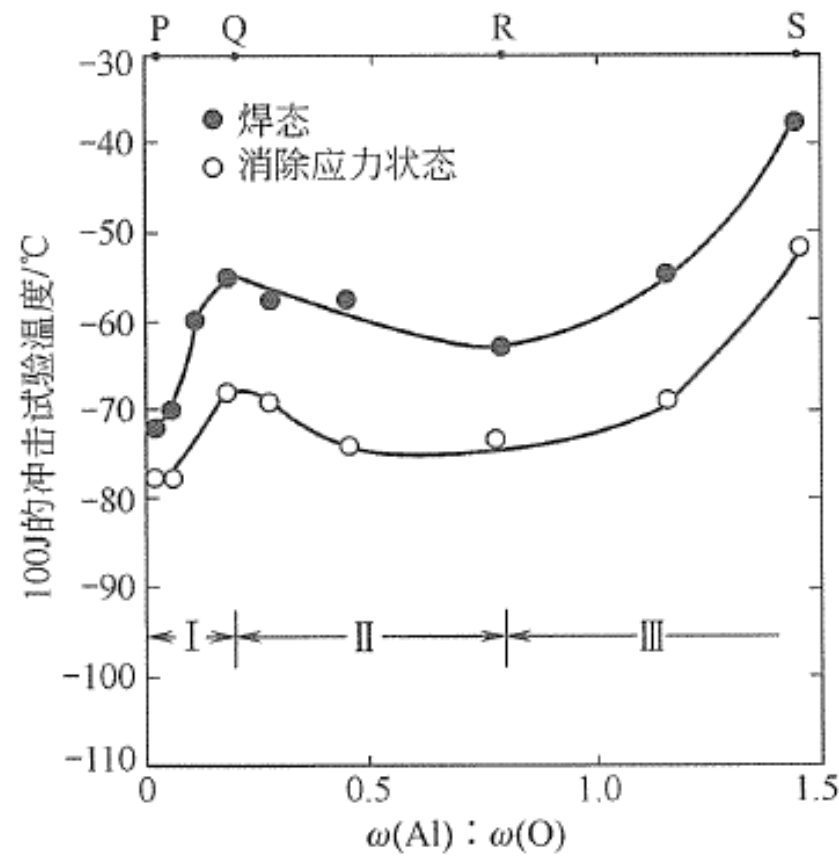
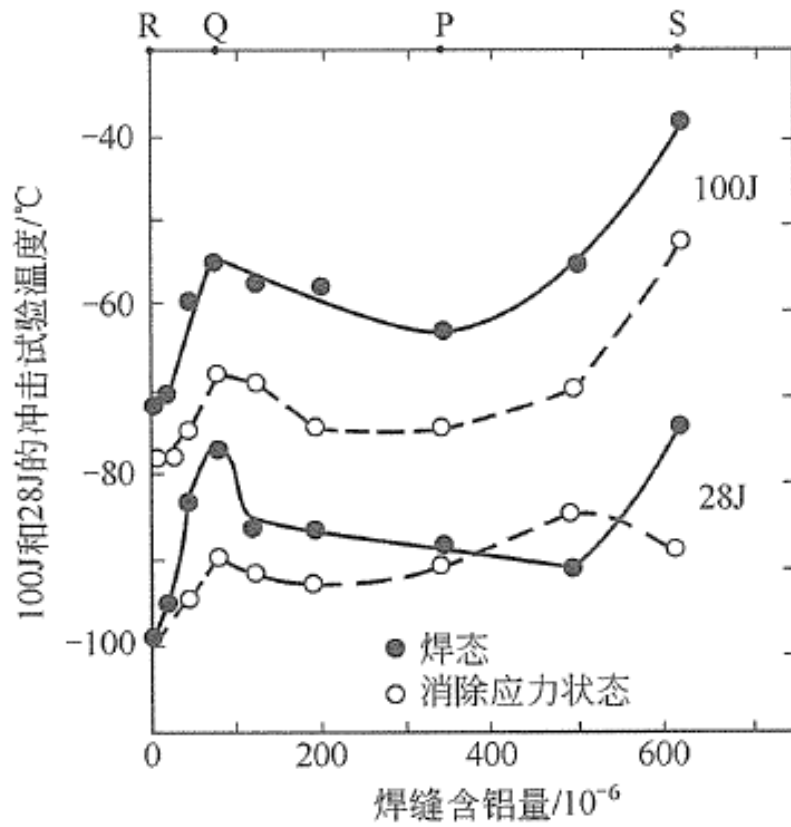


合金設計-Al

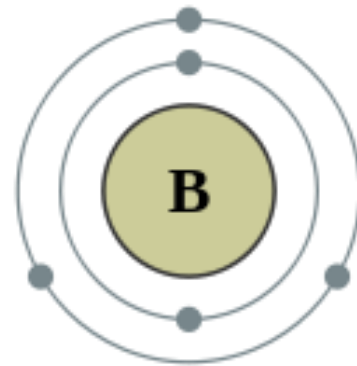
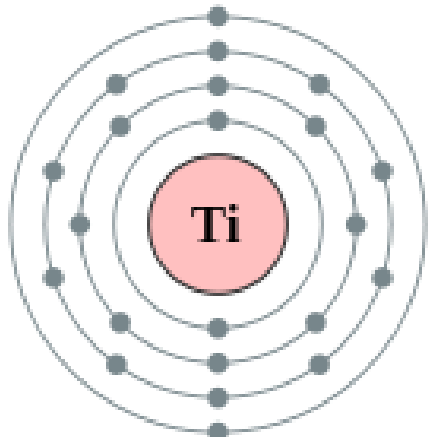
鋁元素影響-組織&強度



鋁元素影響-低溫韌性

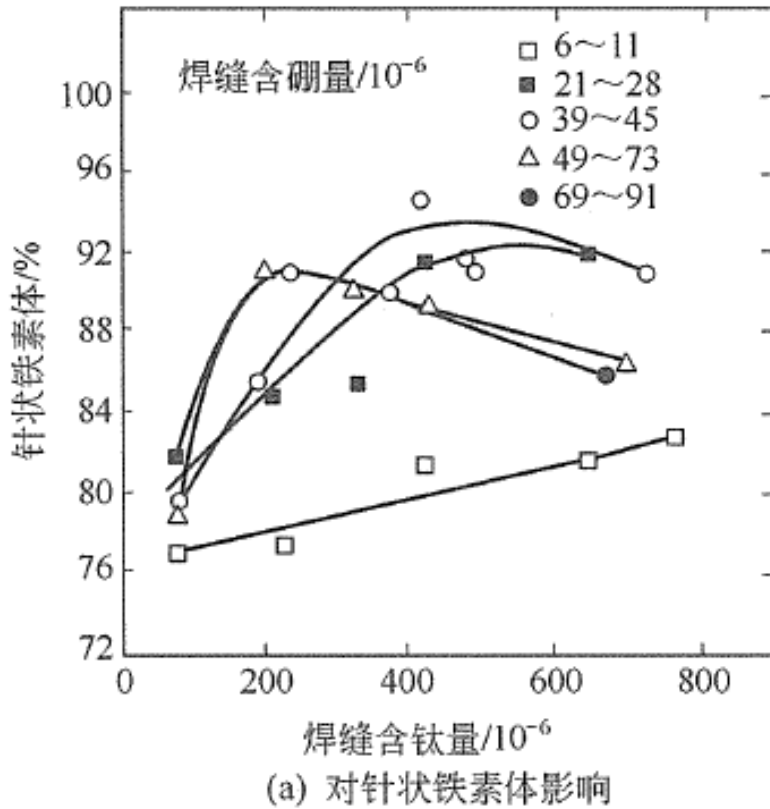


AI設計在100ppm 以下

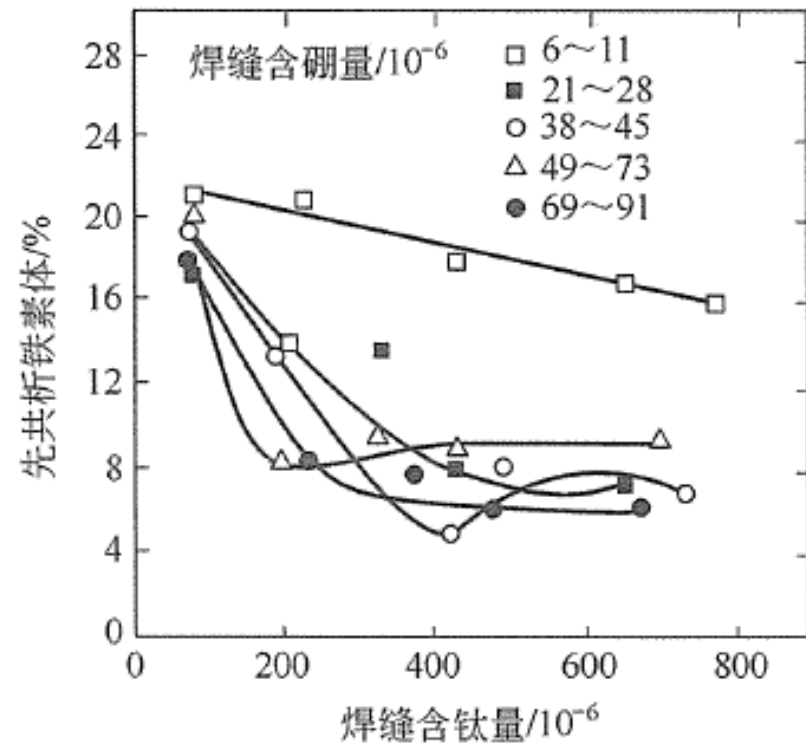


合金設計-Ti & B

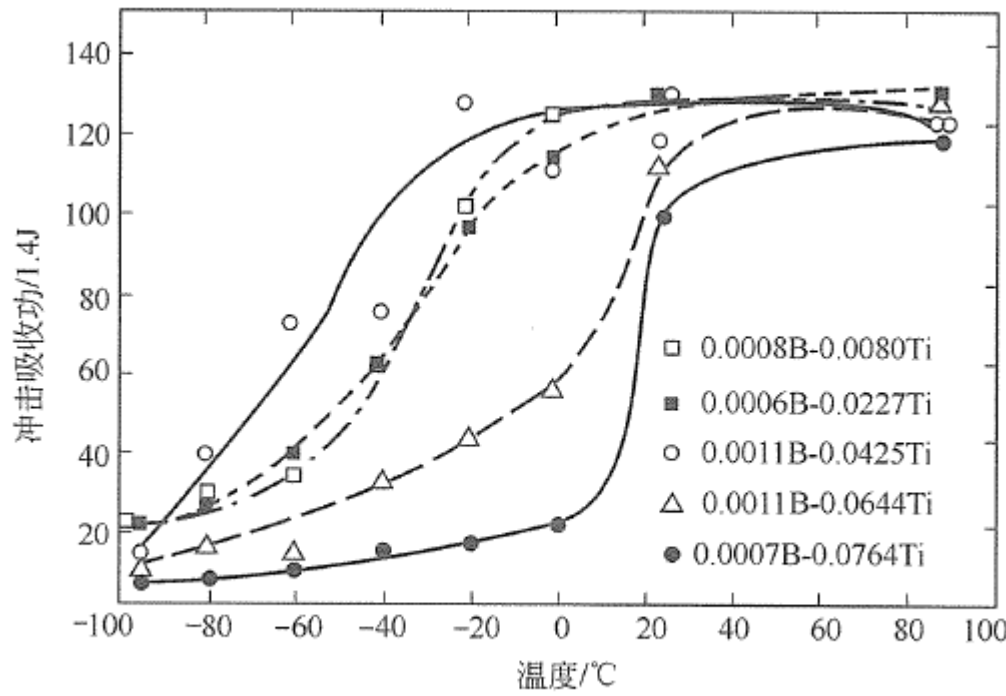
鈦&硼元素影響-組織



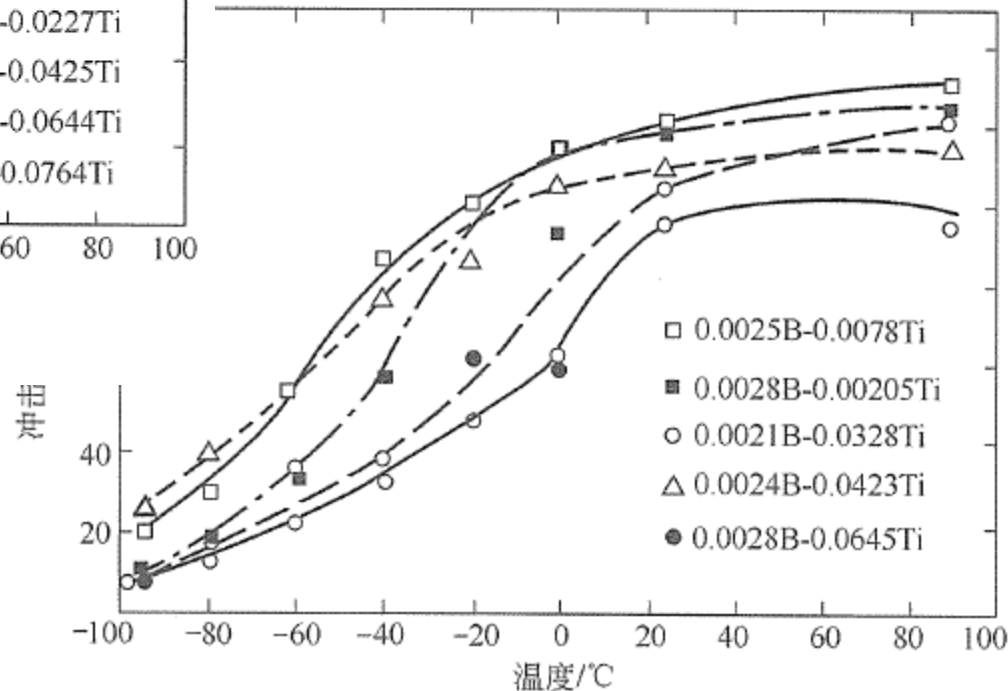
(a) 对针状铁素体影响



鈦&硼元素影響-低溫韌性

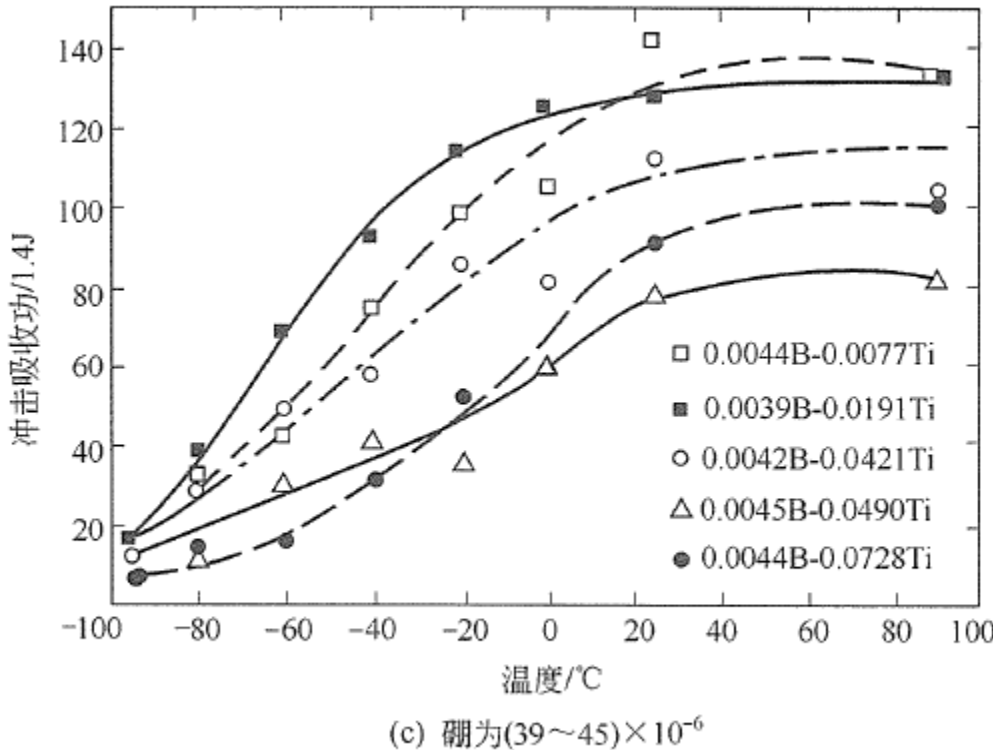


(a) 硼为 $(8\sim11)\times10^{-6}$

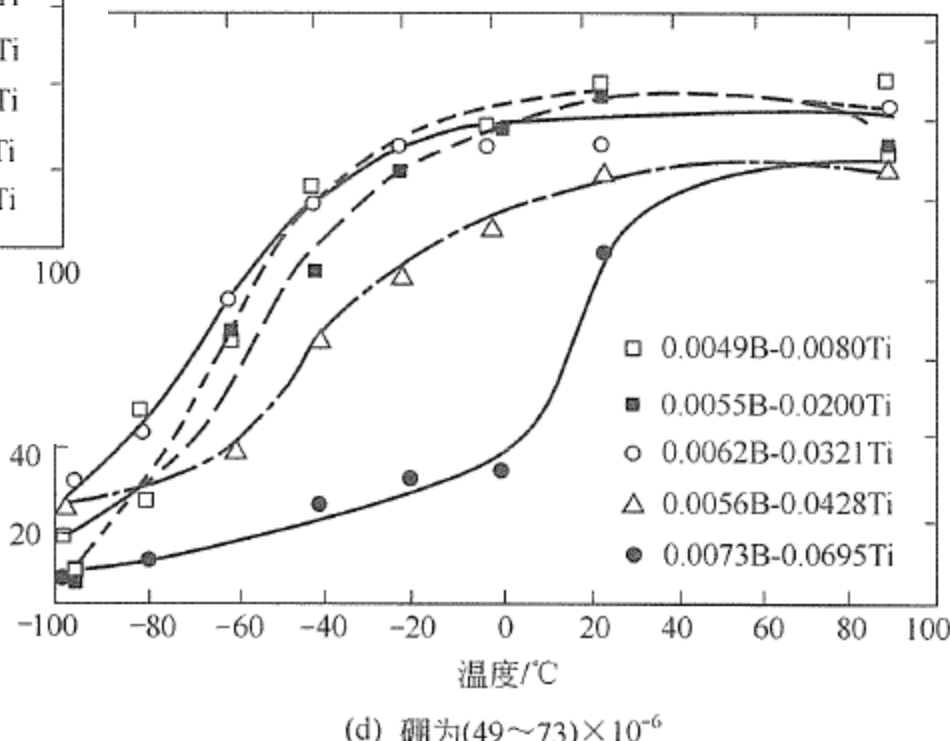


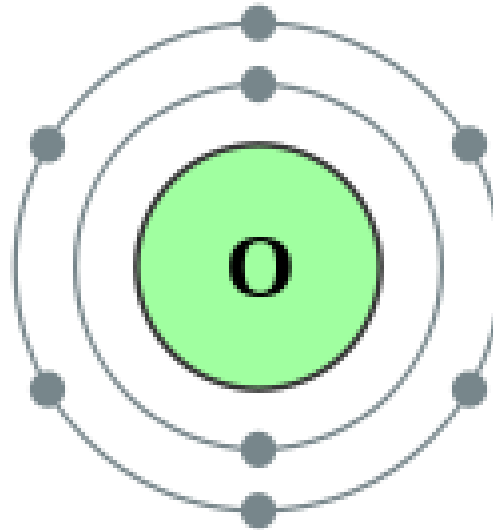
(b) 硼为 $(21\sim28)\times10^{-6}$

鈦&硼元素影響-低溫韌性



Ti設計在**200~400ppm** 之間
B設計在**20-50ppm** 之間





有害氣體控制-O



氧氣對鋸接的作用

溶解方式.

- 以O和FeO兩種形式溶於液態鐵中
- 在室溫中以氧化物與矽酸鹽的形式存在

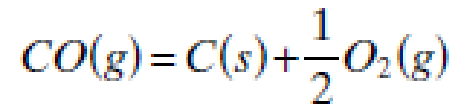
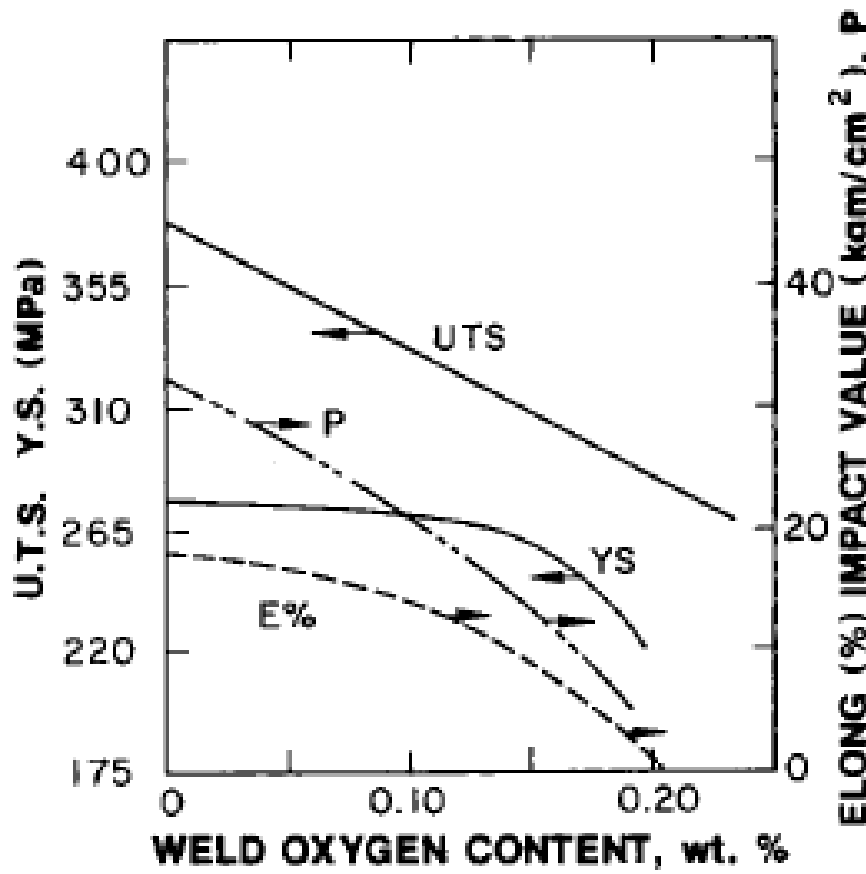
鋸接性質影響

- 鋸道機械性質不佳，強度塑性、韌性下降
- 耗損合金元素
- 氣孔
- 飛濺

控制方式

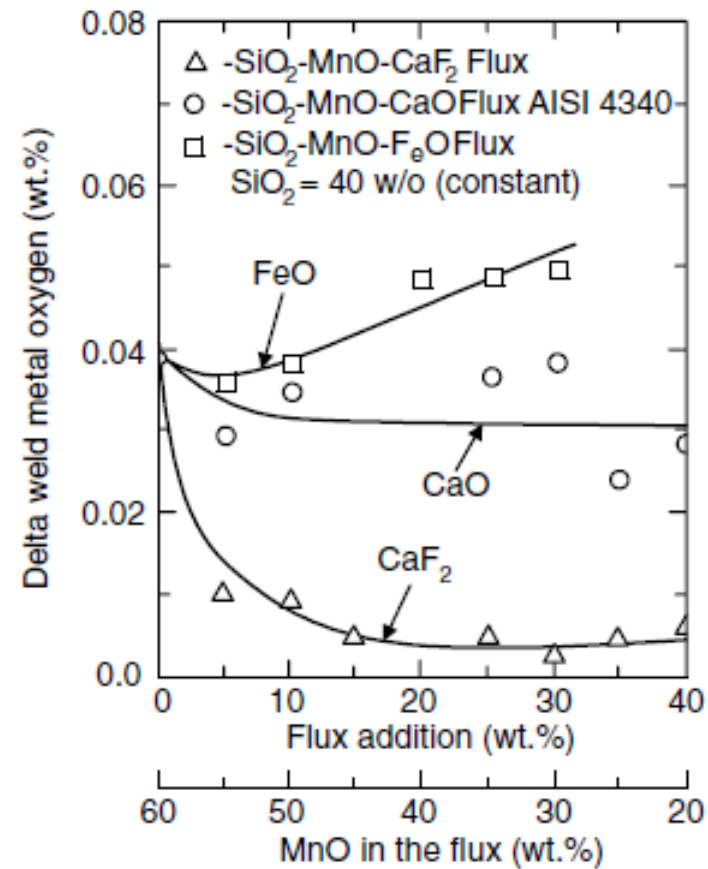
- 控制鋸接材料
- 控制鋸接參數
- 冶金反應

氧與機械性質的關係

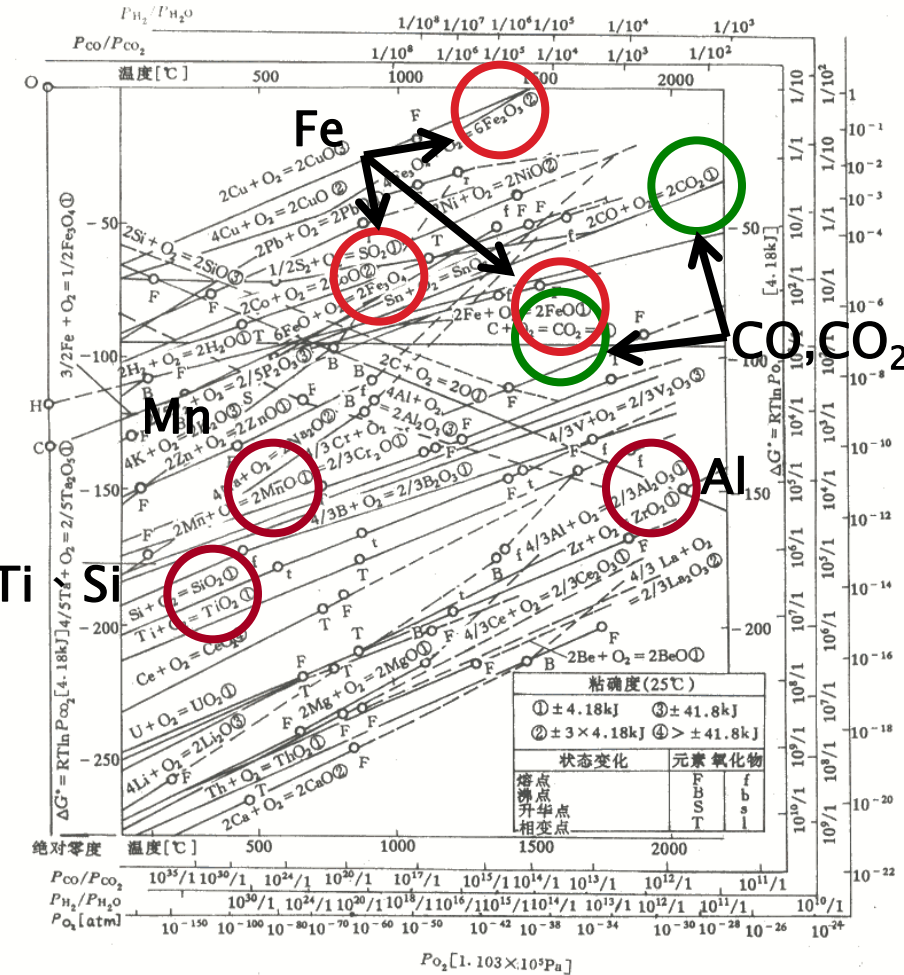


脫氧劑

脫氧劑	反應	
Ti	先期	$\text{Fe}_2\text{O}_3 + \text{Ti} \rightarrow \text{TiO}_2 + 2\text{FeO}$
Si		$2\text{FeO} + \text{Ti} \rightarrow \text{TiO}_2 + 2\text{Fe}$
Mn		$2\text{CaCO}_3 + \text{Ti} \rightarrow 2\text{CaO} + \text{TiO}_2 + 2\text{CO}$
Al		$2\text{CO}_2 + \text{Ti} \rightarrow \text{TiO}_2 + 2\text{CO}$
Cr		$2\text{CO} + \text{Ti} \rightarrow \text{TiO}_2 + 2\text{C}$
V		$\text{Ti} + \text{O}_2 \rightarrow \text{TiO}_2$
Mg		$[\text{M}] + [\text{FeO}] \rightarrow [\text{Fe}] + (\text{MO})$
TiO_2	沉澱	$[\text{FeO}] + [\text{TiO}_2] \rightarrow (\text{FeTiO}_3)$



脫氧反應

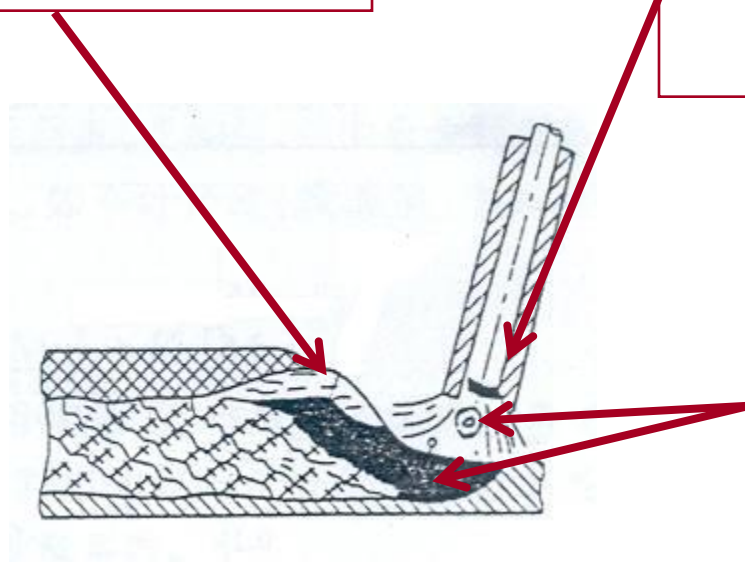


- $M + O \rightarrow MO \quad \Delta G^\circ$
- 在鋸接溫度對氧的親和力比被鋸金屬大
- 脫氧的產物不溶於液態金屬，且密度也小於液態金屬

冶金反應除氧

➤ 熔渣與液態金屬界面：

- 擴散脫氧



➤ 藥皮反應區：

- 以惰性氣體稀釋電弧中的氧
- 先期脫氧

使用Al、Ti、Si、Mn或其合金等作為脫氧劑

➤ 熔滴與熔池反應區：

- 沉澱脫氧

脫氧劑和FeO直接反應，產生的脫氧產物

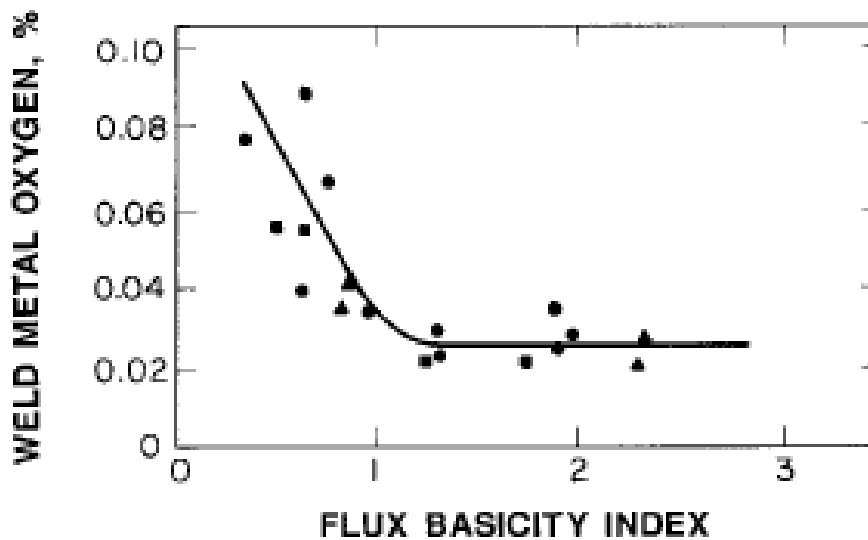
浮出液態金屬

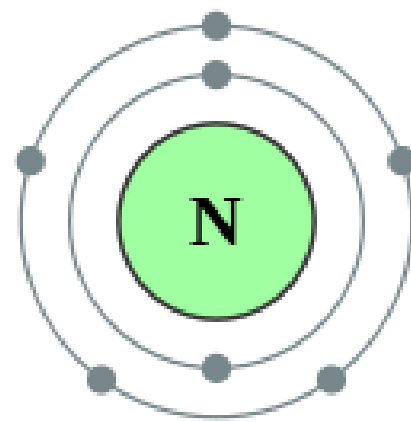
- TiO_2 與氧化鐵反應形成鈦酸鹽溶入渣中



提高鋸藥鹼度

$$BI = \frac{CaF_2 + CaO + MgO + BaO + SrO + Na_2O + K_2O + Li_2O + 0.5(MnO + FeO)}{SiO_2 + 0.5(Al_2O_3 + TiO_2 + ZrO_2)}$$





有害氣體控制-N



氮氣對鍛接的作用

溶解方式.

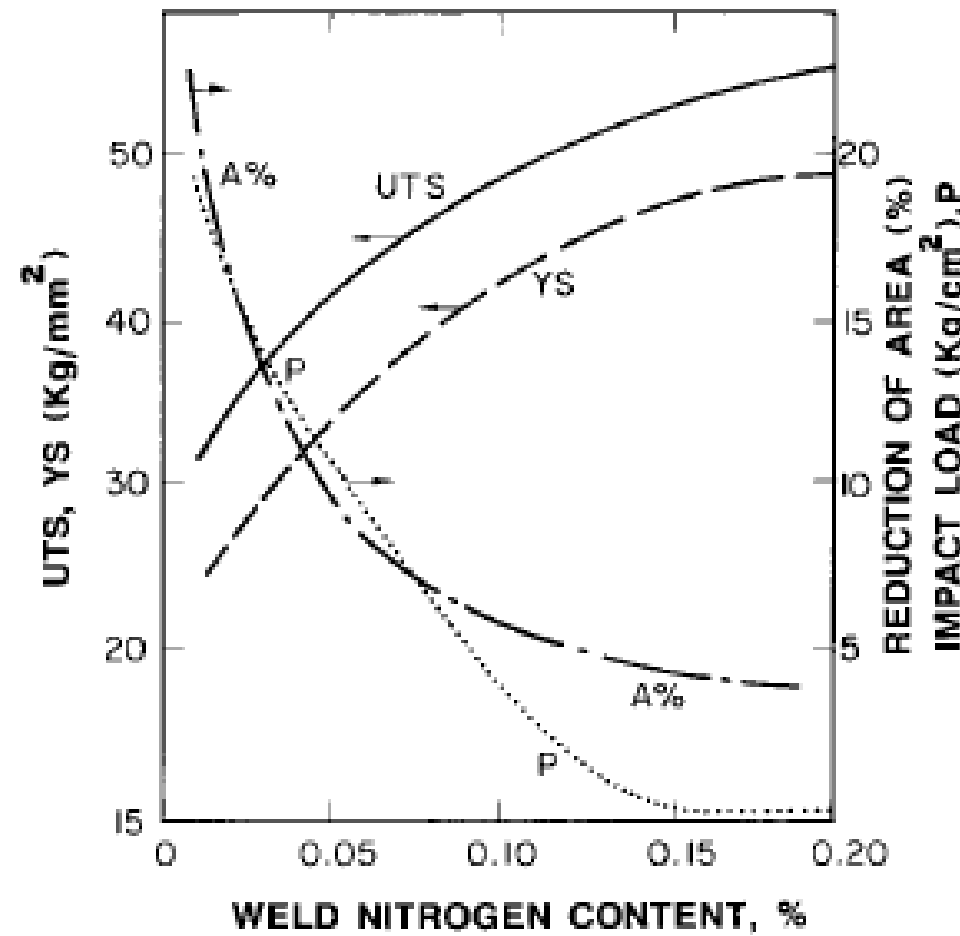
鍛接性質影響

控制方式

- 氣體分子吸附金屬表面後，分解為原子溶入金屬
- 室溫中部分過飽和的氮會析出形成 Fe_4N

- 氣孔
- 強度硬度升高
- 塑性韌性下降
- 保護鍛接區
- 控制鍛接參數
- 冶金反應

氧與機械性質的關係

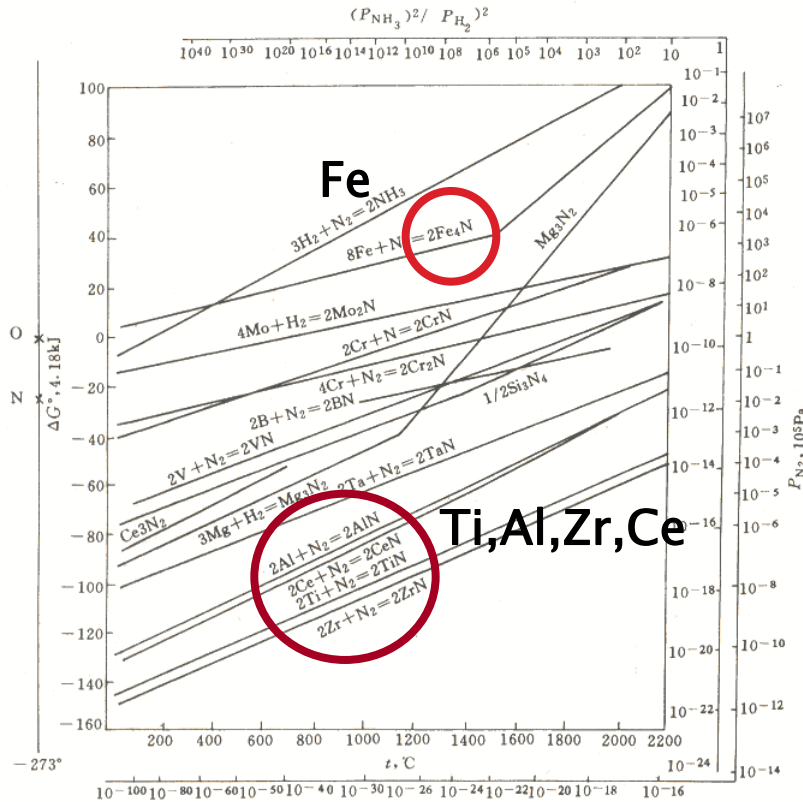




脫氮劑

除氮劑	反應
Ti	
Al	$\text{Ti} + \text{N} \rightarrow \text{TiN}$
Zr	$\text{Al} + \text{N} \rightarrow \text{AlN}$
Ce	$\text{V} + \text{N} \rightarrow \text{VN}$
V	$2\text{Ti} + \text{N}_2 \rightarrow 2\text{TiN}$
Mg	$2\text{Al} + \text{N}_2 \rightarrow 2\text{AlN}$
B	
Cr	
Mo	$2\text{V} + \text{N}_2 \rightarrow 2\text{VN}$

脫氮反應

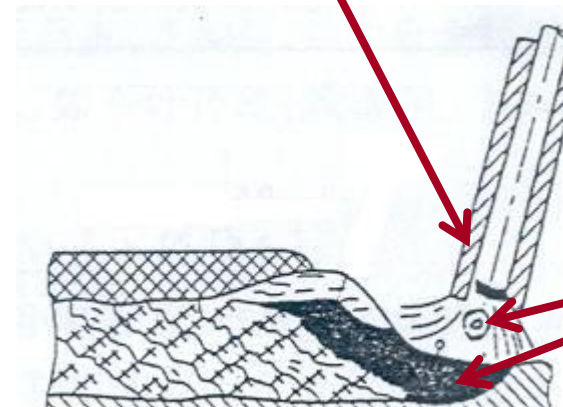


- $M + N \rightarrow MN \quad \Delta G^\circ$
- Ti、Al、Zr和Ce
- 對氮的親和力大
- 形成穩定的氮化物
- 形成的氮化物不溶於液態鐵

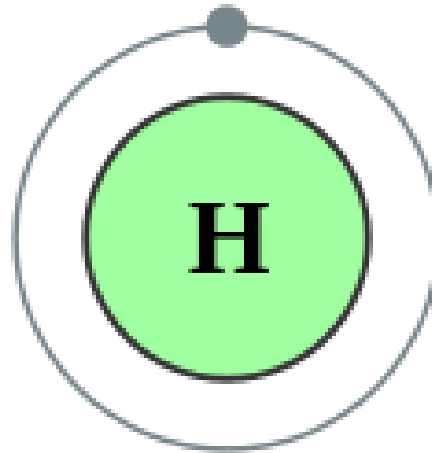
冶金反應除氮

➤ 藥皮反應區：

以惰性氣體稀釋電弧中的氮



➤ 熔滴與熔池反應區：
鈦、鋁、鎂和稀土元素



有害氣體控制-H



氮氣對鍔接的作用

溶解方式.

- 通過熔渣或氣相與液態金屬的界面溶入
- 以H、H⁺ 或H⁻ 的形式存在

鍔接性質影響

- 氢脆性
- 氢白點
- 氣孔
- 延遲裂紋

控制方式

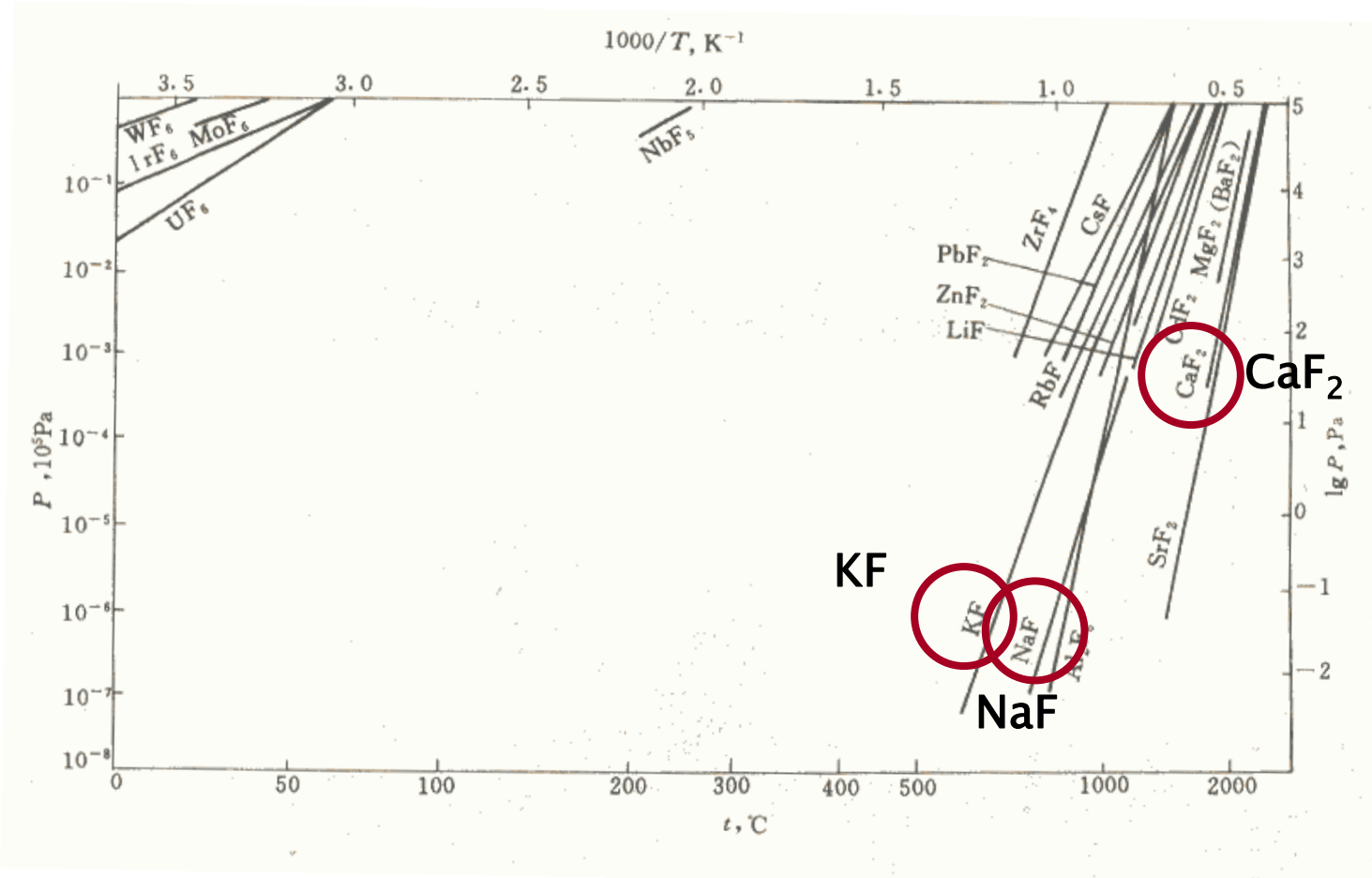
- 限制氫的來源
- 以惰性氣體降低電弧中的氫分壓
- 冶金處理
- 鍔後處理



脫氫劑

	除氫劑	反應
氟化物	$\text{CaF}_2, \text{BaF}_2$ K_3AlF_6 $\text{Na}_2\text{SiF}_6, \text{K}_2\text{SiF}_6$ LiF, NaF AlF_3	$\text{CaF}_2 + 2\text{H} \rightarrow \text{Ca} + 2\text{HF}$ $\text{NaF} + \text{H} \rightarrow \text{Na} + \text{HF}$ $\text{AlF}_3 + 3\text{H} \rightarrow \text{Al} + 3\text{HF}$
氧化性氣體	CO_2 O O_2	$\text{CO}_2 + \text{H} \rightarrow \text{CO} + \text{OH}$ $\text{O} + \text{H} \rightarrow \text{OH}$ $\text{O}_2 + \text{H}_2 \rightarrow 2\text{OH}$

脫氫反應



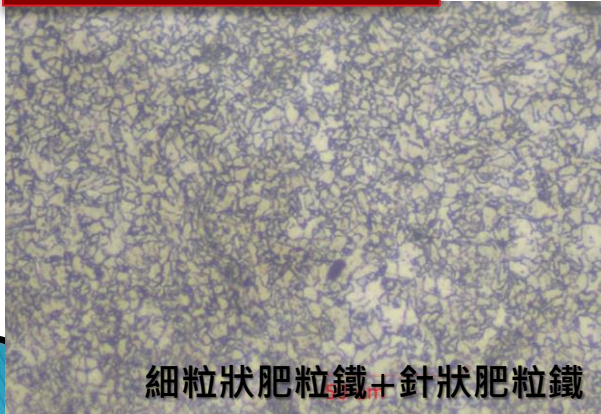


合金-氣體-組織-物性

Chemistry

C	Si	Mn	P	S	Cr
0.05~0.07	0.2~0.6	1.2~1.6	0.02 max	0.02 max	0.25 max
Ni	Mo	Al	Cu	Ti	B
1.5~2.5	0.2~0.4	0.01 max	0.05 max	0.02~0.04	20~50 ppm
O	N	Diffusible H (ml/100g)			
200~300ppm	80ppm max	4			

Microstructure



細粒狀肥粒鐵+針狀肥粒鐵

Mechanical Properties

T.S. (MPa)	Y.P. (MPa)	EL(%)
719	668	22

Impact value @-51°C

96



Thanks for your attention